



Hochschule für Technik  
und Wirtschaft Berlin

University of Applied Sciences

---

# Untersuchung der Algorithmen und Prozesse der Standortanalyse im Kontext einer Filialplanung eines Einzelhändlers

---

**Masterarbeit**

Name des Studiengangs

**Internationale Medieninformatik**

**Fachbereich 4**

vorgelegt von

**Moritz Thomas**

s0544877

Datum:

Berlin, 01.03.2021

**Erstgutachter: Prof. Dr. Tobias Lenz**

**Zweitgutachter: Sumit Kapoor**

# Eigenständigkeitserklärung

Hiermit versichere ich, dass ich die vorliegende Masterarbeit selbstständig und nur unter Verwendung der angegebenen Quellen und Hilfsmittel verfasst habe. Die Arbeit wurde bisher in gleicher oder ähnlicher Form keiner anderen Prüfungsbehörde vorgelegt.

Berlin, den 01.03.2021

A handwritten signature in blue ink, appearing to read 'Moritz Thomas', written in a cursive style.

Moritz Thomas

# Abstract

Die Besuchswahrscheinlichkeit eines Kunden hat großen Einfluss auf den Umsatz und Marktanteil einer Filiale. Große Verkaufsketten des Lebensmitteleinzelhandels stehen hierzu in ständigem Konkurrenzkampf. Neben einer eigenen Preispolitik oder dem individuellen Sortiment, kann vor allem die Eröffnung einer weiteren Filiale Einfluss auf die Besuchswahrscheinlichkeit haben. Bei der Wahl des Standortes sollten mehrere Faktoren in Betracht gezogen werden. Die Berechnung der Wahrscheinlichkeit kann über Gravitationsmodelle erfolgen.

Eines der bekanntesten Modelle wurde von David L. Huff in 1962 entwickelt. Es hat den Zahn der Zeit überstanden und ist nach wie vor aufgrund der einfachen Anwendung und dennoch großen Aussagekraft sehr angesehen und wurde stetig weiterentwickelt. Für die digitale Verwendung als Komponente eines Web-Geoinformationssystems (Web-GIS) wird dieses Modell mit moderner Technologie, in Form von Angular und OpenLayers, prototypisch implementiert und anschließend die Nutzbarkeit in realen Szenarien bewertet.

The probability of a customer visiting a store has a major influence on its sales and market share. Large food retail chains are in constant competition with each other in this respect. In addition to their own pricing policy or individual product range the opening of a further store in particular can have an influence on the probability of a customer visiting the store. When choosing a location several factors should be taken into account. The calculation of the probability can be done by gravity models. One of the best known models was developed by David L. Huff in 1962. It has survived the ravages of time and is still highly regarded due to its ease of use and yet great predictive power and has been continually refined. For digital use as a component of a web geographic information system (Web-GIS) this model is prototyped using modern technology, in the form of Angular and OpenLayers, and then its usability in real-world scenarios is evaluated.

# Inhaltsverzeichnis

<b>Eigenständigkeitserklärung</b>	<b>I</b>
<b>1 Einleitung</b>	<b>1</b>
1.1 Einführung . . . . .	1
1.2 Motivation . . . . .	3
1.3 Abgrenzung . . . . .	4
<b>2 Grundlagen</b>	<b>5</b>
2.1 Geomarketing . . . . .	5
2.1.1 Standortanalyse . . . . .	6
2.1.2 Standortplanung/ Filialplanung . . . . .	9
2.1.3 Geodaten . . . . .	9
2.1.4 Marktdaten . . . . .	10
2.2 Geoinformationssysteme . . . . .	11
2.3 Genutzte Technologie . . . . .	12
<b>3 Konzept</b>	<b>15</b>
3.1 Algorithmus und Prozesse . . . . .	15
3.2 Architektur . . . . .	19
<b>4 Implementierung</b>	<b>22</b>
<b>5 Auswertung</b>	<b>43</b>
5.1 Bewertung . . . . .	43
5.2 Fazit/ Ausblick . . . . .	47
<b>Abbildungsverzeichnis</b>	<b>A</b>

<b>Quelltextverzeichnis</b>	<b>B</b>
-----------------------------	----------

<b>Literaturverzeichnis</b>	<b>C</b>
-----------------------------	----------

<b>Anhang A</b>	<b>H</b>
-----------------	----------

A.1 Diagramm . . . . .	H
------------------------	---

# Kapitel 1

## Einleitung

Bevor die theoretischen Grundlagen der Arbeit vorgestellt werden, geben die folgenden Kapitel einen Einstieg in die Thematik und beschreiben, was den Lesenden in diesem Dokument erwartet.

### 1.1 Einführung

Im Jahr 2019 gaben private Haushalte in Deutschland rund 197,3 Milliarden Euro für Lebensmittel aus<sup>1</sup>. Dies verteilt sich auf rund 34.947 Geschäfte. Zwar kontrollieren die vier Unternehmen Edeka, Rewe, Aldi und die Schwarz-Gruppe rund 70 Prozent des Marktes, dennoch herrscht ein Konkurrenzkampf, der jeden noch so kleinen Vorteil gegenüber den Wettbewerbern direkt in einem Anstieg in Umsatz, Marktanteil oder Zufriedenheit der Kundschaft ausdrückt<sup>2</sup>.

Das Spielfeld ist hierbei vielfältig und wechselhaft, Faktoren ändern sich. In Zeiten der fortgeschrittenen Digitalisierung sind Unternehmen mittlerweile auf technische Unterstützung angewiesen, um nicht abgehängt zu werden. Sämtliche Bereiche der Maschinerie Lebensmitteleinzelhandel (im Folgenden LEH) sind teilweise vollständig oder zu großen Teilen von technischen Prozessen durchzogen. Dennoch gibt es den LEH bereits seit Jahrzehnten und gängige Prozesse haben sich etabliert und verbreitet. So auch die Standortanalyse und die Filialplanung. Eine spannende Aufgabe der Unternehmen und der Wissenschaft

---

<sup>1</sup>*Konsumausgaben in Deutschland für Nahrungsmittel, Getränke und Tabakwaren bis 2019 2020.*

<sup>2</sup>Nielsen 2019.

ist es, stetig neue Technologien für die digitale Umsetzung der gegebenen Prozesse zu nutzen und durch das Zusammenspiel Optimierung und Innovation zu erreichen.

Kennzahlen im Marketing, die in Zusammenhang mit dem Umsatz stehen, sind unter anderem der Marktanteil und die Anzahl der Kund\_innen. Diese gilt es zu erhöhen, wenn eine Umsatzsteigerung erwünscht ist. Zwar ist diese Gleichung vereinfacht und unvollständig, dennoch gibt sie einen guten Einblick davon, was in der Standortanalyse und Filialplanung primär verglichen und zu erreichen versucht wird.

Es stellt sich die Frage, wie die Anzahl der Kund\_innen und der Marktanteil erhöht werden kann.

Eine mögliche Lösung liegt in der Eröffnung neuer Filialen, beispielsweise durch die Expansion zur Erschließung neuer Märkte oder die Verstärkung der Präsenz in bestehenden Märkten. Bei der Planung einer neuen Filiale sollten viele Aspekte näher beleuchtet werden. Potenzielle Standorte müssen anhand ihres Einflusses auf den Marktanteil der eigenen Filialen sowie der Konkurrenz verglichen und bewertet werden. Nicht immer ist es am sinnvollsten den Standort der neuen Filiale so zu wählen, dass die Konkurrenz Marktanteile verliert. Denn möglicherweise treten Kannibalisierungseffekte auf, bei denen es auch bei anderen Filialen der eigenen Kette zu Umsatzverlusten kommt. Es ist stets ein Gesamtüberblick zu wahren und den Einfluss der neuen Filiale auf den Gesamtmarktanteil zu analysieren.

Um eine Abwägung und Rangliste der Standorte erstellen zu können, muss ein Indikator errechnet werden. In die Berechnung fallen viele Variablen und Parameter, die sich grundsätzlich in zwei Kategorien unterteilen:

Faktoren bezogen auf die Filiale und Faktoren bezogen auf die Kund\_innen. Faktoren dieser Kategorien haben Einfluss auf die Entscheidung der Kund\_innen bei einer Filiale an einem gewissen Standort einkaufen zu gehen. Die Wissenschaft untersucht hierbei mögliche Gründe, wonach die Filiale ausgesucht wird und wie hoch die Wahrscheinlichkeit eines Besuchs ist. Hierbei wird von sogenannten Gravitationsmodellen Gebrauch gemacht. Jede Filiale besitzt eine Anziehungskraft auf die Kund\_innen. Eigenschaften wie zum Beispiel Größe, Preiskultur oder Markenstärke der Filiale sowie die Entfernung und Reisezeiten der Kund\_innen zur Filiale bestimmen die Gravitation dieser. Ebenso beeinflussen sich Filialen der eigenen Kette, wie auch Konkurrenzfilialen gegenseitig. Dies erschafft ein Modell eines Filialnetzes, in dem verschiedene Gravitationsebenen der gleichen Stärke zu Linien zusammengefasst werden können, bei diesen sogenannten Isolinien werden be-

nachbarte Punkte gleichen Wertes verbunden.<sup>3</sup> Farblich gekennzeichnet fügen sich diese Ebenen zu einem Bild zusammen, welches einen Überblick über die Aufteilung des Marktes gibt<sup>4</sup>. Es ist gut ersichtlich, welche Filialen häufig besucht werden und welche weniger Besuchende anlocken. Wird in das bestehende Bild eine neue Filiale gesetzt, verschieben sich die Gravitationsebenen entsprechend der Neuberechnung der Besuchswahrscheinlichkeiten. Erfolgt dies für sämtliche potenzielle neue Standorte, können die Besuchswahrscheinlichkeiten verglichen und der Marktanteileinfluss analysiert werden. Abschließend kann eine Rangliste der Standorte erstellt und der optimale Standort für eine neue Filiale gewählt werden.

## 1.2 Motivation

Viele der in der Standortanalyse verwendeten Prozesse und Algorithmen sind geomathematischer oder geoinformatischer Natur und basieren auf komplexen Berechnungen. Um diese zu erkunden und zu ergründen, haben sich eigene Wissenschaftsbereiche in der Mathematik, Betriebswirtschaftslehre, Informatik und dem Ingenieurwesen gebildet. Zur Vereinfachung dieser komplexen Themen und der daraus resultierenden Erleichterung der täglichen Arbeit für die Mitarbeitenden des LEH, können digitale Prozesse eingesetzt werden. In benutzerfreundlichen, einfach zu verstehenden und visuell ansprechenden Anwendungen sollen sich die Algorithmen und Prozesse der Standortanalyse und Filialplanung verbergen. Solche Anwendungen werden Geoinformationssysteme (kurz und im Folgenden GIS) genannt. Auf dem Markt existieren derer bereits einige. Marktführer sind zum Beispiel Pitney Bowes, ESRI oder Autodesk. Ebenso existieren einige OpenSource Angebote, wie zum Beispiel GRASS GIS oder QGIS. In der Praxis benötigen die Unternehmen dennoch oft Individuallösungen, die entweder auf bestehender Software aufbauen oder diese integrieren. Ziel dieser Arbeit ist es daher eine Anwendung zu entwickeln, die den Algorithmus des Huff-Modells mit Prozessen der Standortanalyse und Filialplanung verbindet.

---

<sup>3</sup>Dr Simon-Martin Neumair 2018.

<sup>4</sup>Weitere Informationen zum Gravitationsmodell und dessen Umsetzung werden im späteren Verlauf der Arbeit näher erläutert.



## 1.3 Abgrenzung

In dieser Arbeit werden Themenfelder des Geomarketings, der Geoinformatik und Geomathematik sowie diverse Technologien behandelt. Die resultierende Anwendung soll lediglich einen Prototyp darstellen und ist keinesfalls ein komplettes GIS. Der Prototyp umfasst eine Karte, Layer zu Filialen und Zensusgebieten, eine einfache Layerverwaltung sowie Funktionalitäten zur Berechnung des Huff-Modells und grafischen Darstellung der Gravitationsebenen. Die Berechnung erfolgt anhand von realitätsnahen Beispieldaten, eine reale Anwendung ist nicht vorgesehen. Die Themengebiete Standortanalyse und Filialplanung werden in allgemeiner Form vorgestellt, jedoch wird sich vielmehr auf die Ausarbeitung des Huff-Modells als Algorithmus zum mathematischen Vergleich verschiedener Standorte potenzieller neuer Filialen eines Einzelhändlers fokussiert. Die Implementierung hat den Fokus auf Umsetzbarkeit innerhalb einer Web-Anwendung mit OpenSource Technologien gelegt.

# Kapitel 2

## Grundlagen

Zu den Grundlagen dieser Arbeit zählen Theorien und Konzepte aus dem Geomarketing und der Geoinformatik sowie die angewendeten Technologien im Prototyp. Die folgenden Kapitel stellen die wichtigsten Informationen bereit, die ein allgemeines Verständnis der Anwendung ermöglichen.

### 2.1 Geomarketing

Aus dem Handbuch Geomarketing von Michael Herter: Geomarketing analysiert aktuelle wie potenzielle Märkte nach räumlichen Strukturen, um den Absatz von Produkten effektiver planen und messbar steuern zu können<sup>1</sup>. Ergänzend befasst sich Geomarketing mit der Beschreibung, Analyse und dem Vergleich beliebiger Märkte und Standorte hinsichtlich ökonomischer Charakteristiken und Potenziale durch Referenzierung und flächendeckende Berechnung von Marktdaten auf geographische Strukturen<sup>2</sup>. Kurz gesagt beschreibt Geomarketing also sämtliche Aspekte des Marketings, die einen geografischen Bezug haben.

Zu relevanten Themenbereichen des Geomarketings für diese Arbeit gehören Standortanalyse /-planung, Filialplanung sowie die Gravitationsanalyse und das Konzept des Gravitationsmodells. Weiterhin werden die Begriffe Geodaten und Marktdaten erläutert.

---

<sup>1</sup>Herter und Mühlbauer 2018.

<sup>2</sup>Dr Simon-Martin Neumair und Prof Dr Hans-Dieter 2018.

### 2.1.1 Standortanalyse

Allgemein erörtert die Standortanalyse Beschreibung, Untersuchung und Unterscheidung von guten und schlechten IST-Standorten sowie potenziellen neuen Standorten und deren Umfeld hinsichtlich der Eignung für den Absatz bestimmter Produkte<sup>3</sup>.

Für die Betrachtung von potenziellen neuen Standorten werden unternehmensinterne Daten (falls vorhanden) und externe Daten anhand von verschiedenen Standortfaktoren untersucht, mit dem Ziel sämtliche potenzielle Standorte auf möglichst wenig Alternativen zu begrenzen und schließlich analytisch die beste zu bestimmen. Die Unterscheidung kann hierbei in höchster Ebene in vier Kategorien erfolgen<sup>4</sup>:

***Zugehörigkeit zur Leistungserstellung*** beinhaltet Faktoren zur Beschaffung, Produktion und zum Absatz.

***Grad der monetären Quantifizierbarkeit*** beinhaltet harte und weiche Standortfaktoren. Harte Standortfaktoren sind immer quantifizierbar und dienen daher als Grundlage für wirtschaftliche Berechnungen und Kosten. Der Einfluss weicher Standortfaktoren kann nicht eindeutig bestimmt werden und kann mit der selektiven Clusterung all der Faktoren beschrieben werden, die auf dem individuellen Raumempfinden der Menschen in ihrer Lebens- und Arbeitswelt basieren.

***Maßstabsebene*** beschreibt Faktoren der Makro-, Meso- und Mikroebene oder anders der Länder-, Region- und Gemeindeebene.

***Grad der Spezifität*** beschreibt Sektor- und Branchenspezifische Faktoren.

Die Abbildung 2.1 bietet hierzu eine detaillierte Auflistung der Kategorien mit Beispielen.

---

<sup>3</sup>Gross 2019.

<sup>4</sup>Prof Dr Hans-Dieter Haas, Dr. Simon-Martin Neumair und Voigt 2009.

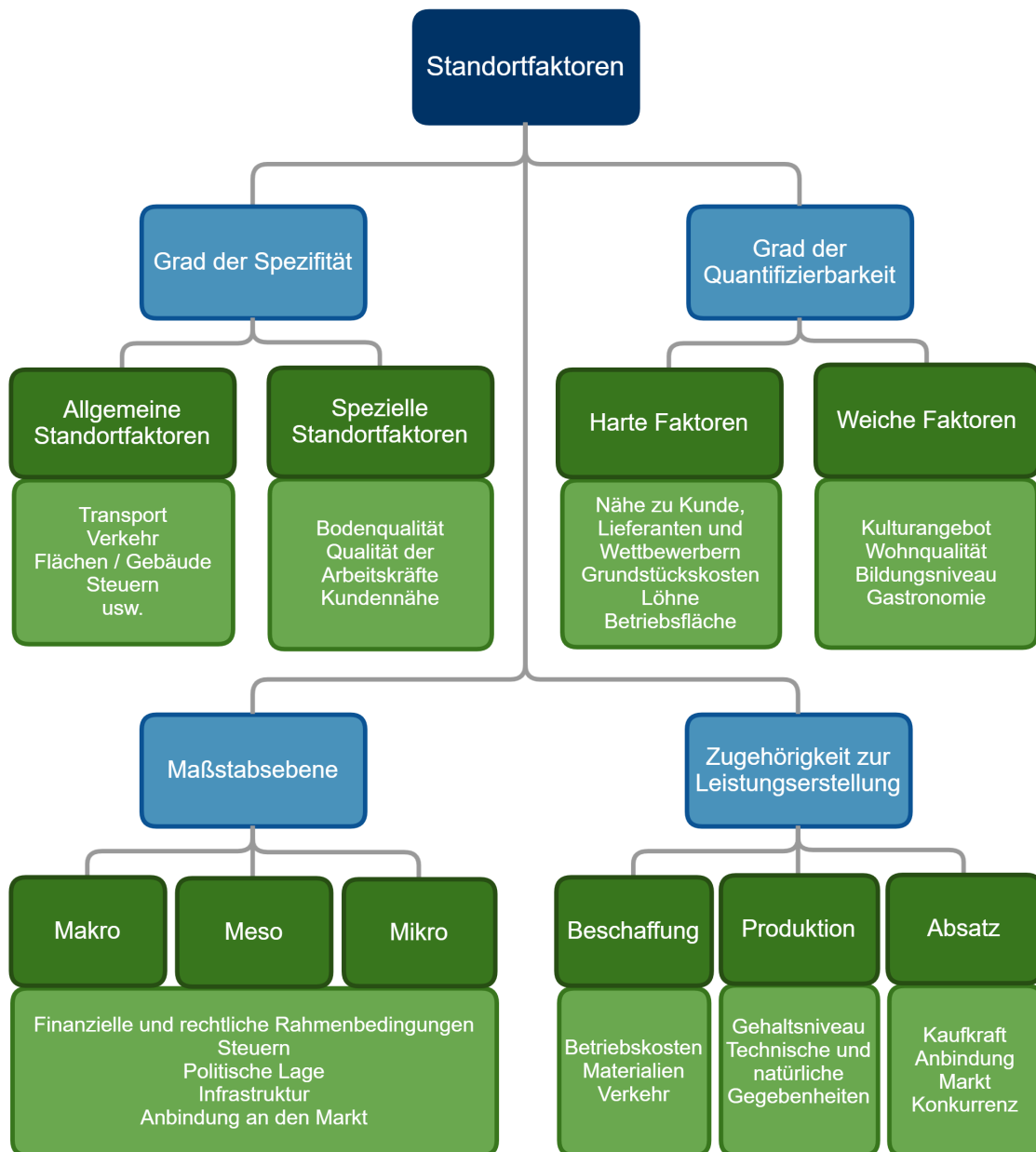


Abbildung 2.1: Eigene Darstellung Standortfaktoren

Weitere zusätzlich relevante Aspekte können sein:

- Zielgruppe: Wer sind die Kunden? Ist das Verkaufsmodell B2C oder B2B?
- Demografische Merkmale: Alter, Geschlecht und Wohnort der Kunden
- Sozioökonomische Betrachtung: Gibt es einen Zusammenhang zwischen Beruf, Bildungsstand oder Einkommen und dem Kaufverhalten?
- Psychografische Merkmale: Haben der Lebensstil, Werte, Motivation oder Ähnliches Einfluss auf das Kaufverhalten?
- Wettbewerbsdichte
- Preispolitik der Wettbewerber
- Größe des Einzugsgebiets
- Kaufkraftwerte des Gebiets
- Erreichbarkeit
- Mietpreise
- Attraktivität des Standortes

Obwohl Filialen geographisch aus betriebswirtschaftlicher Sicht Unternehmensstandorte sind, kann zwischen Filialplanung und Standortplanung unterschieden werden und dementsprechend werden andere Faktoren bei der Standortanalyse wichtiger oder hinzugezogen. Für die Filialplanung zusätzlich relevant werden folgende Faktoren:

- Bekanntheitsgrad, Markenstärke: Was zeichnet die eigene Marke aus? Was setzt sie ab?
- Freies Potential: Herrscht genug Nachfrage?
- Kannibalisierungseffekte: Ist der Standort zu nah an anderen, bestehenden Filialen?
- Logistikkosten: Kann ich Lieferwege und Lagerstandorte optimal nutzen?

Für eine einfache mathematische Standortanalyse können nun zunächst die Kategorien anhand der eigenen Marke als mehr oder weniger relevant bewertet und gewichtet werden. Außerdem müssen die einzelnen Kategorien für jeden Standort bewertet werden. Die Bewertungen der Kategorien müssen nun mit der Gewichtung der Kategorie multipliziert werden, um die genaue Faktorbewertung des Standorts für jede Kategorie zu erhalten. Die Faktorbewertungen summiert ergeben nun Standortbewertung. Sind die Standortbewertungen tabellarisch aufgelistet und werden anschließend verglichen ist die Standortanalyse abgeschlossen.

### 2.1.2 Standortplanung/ Filialplanung

Bereits im vorherigen Kapitel erwähnt, wird zwischen der Standortplanung und der Filialplanung geringfügig unterschieden. So legt die Filialplanung ihren Fokus auf mehrere in einem Filialnetz zusammengefasste Standorte, welche bei der Analyse berücksichtigt werden müssen. Die Standortplanung konzentriert sich dagegen eher auf einzelne Standorte.

Beide Methoden verwenden jedoch in der vorher durchgeführten Standortanalyse herausgestellte Erkenntnisse, um die potenziellen Standorte einzuordnen und eine Entscheidung für die nächste Filialeröffnung zu treffen.

### 2.1.3 Geodaten

Geodaten sind strukturierte codierte Angaben zur quantitativen und qualitativen Beschreibung von natürlichen oder definierten Objekten der realen Welt. Geodaten vermessen die Welt und beschreiben geographische (Teil-)räume und Orte<sup>5</sup>.

Geodaten werden in mehrere Typen klassifiziert und unterliegen definierten Standards, die sich am Markt durchgesetzt haben<sup>6</sup>.

---

<sup>5</sup> *Geodaten - Geoportal 2020.*

<sup>6</sup> *GIS-Standards 2018.*

So definiert die ISO 19115 einen Standard zur Beschreibung geographischer Informationen anhand von Metadaten<sup>7</sup>. Wichtigste standardisierte Dienste sind unter anderem:

- WMS: Web Map Service zum Teilen von Karten
- WFS: Web Feature Service zum Teilen von Feature-Daten

Zu den wichtigsten standardisierten Datenformaten zählen:

- GeoJSON - JSON Format mit Geo-Spezifika
- KML - Keyhole Markup Language
- GPKG - GeoPackage definiert vom Open Geospatial Consortium

Im Prototyp verwendete Formate sind GeoJSON für Features sowie einfache Bilder (PNG) der Hintergrundkarte.

#### 2.1.4 Marktdaten

Marktdaten oder Marktinformationen beschreiben die individuelle regionale Charakteristik geographischer Gebiete oder Standorte mittels qualitativer Merkmale<sup>8</sup>.

Es gibt unternehmensinterne sowie externe Marktdaten. Marktdaten können aus einem internen CRM-System stammen und über Umfragen, Marktforschung und Erhebungen als Primärdaten selbst erhoben werden oder aus staatlichen Statistiken sowie Branchen- und Wirtschaftsverbänden als Sekundärdaten eingeholt werden.

Im Prototyp verwendete Marktdaten sind aus Sekundärdaten erstellte Beispieldaten für Filialen und Gebiete.

---

<sup>7</sup>ISO Central Secretary 2021.

<sup>8</sup>Marktdaten / Geomarketing 2021.

## 2.2 Geoinformationssysteme

Geoinformationssysteme, kurz GIS, sind Informationssysteme zur Erfassung, Bearbeitung, Organisation, Analyse und Präsentation räumlicher Daten<sup>9</sup>. Ähnlich anderer Informationssysteme besteht ein GIS aus Hardware (Computer, Server, Drucker etc.), Software mit Analyse-Tools (Zeichnen, Kalkulation) und räumlichen Daten (Koordinatensystem, Karten, Geometrien etc.). Gegebenenfalls wird die Liste um eine Verwaltungsebene ergänzt sobald ein Berechtigungskonzept für die Daten und Funktionen des GIS angewendet wird. Erste GIS Systeme stammen aus den sechziger Jahren (Canada Geographic Information System<sup>10</sup>). Zu den ersten Nutzern der Systeme gehörten vor allem Behörden und Universitäten, so wurden viele grundlegende theoretische Konzepte an der Harvard University von Professor Howard Fisher aufgestellt<sup>11</sup>. Mittlerweile haben sich viele Web-GIS etabliert, hierbei wird das Informationssystem über eine Website veröffentlicht oder benutzt. Zu den größten Vertretern moderner Web-GIS zählen vor allem Google Maps, Bing Maps, OpenStreetMaps als OpenSource-Alternative oder etwas kleinere Anbieter wie HERE oder Yandex.Maps. Kommerzielle Web-GIS bieten meist ein eingeschränktes Funktions-Set, was sie nicht als Produkt für individuelle Software-Lösungen für Firmen in Frage kommen lässt. Daher greifen viele Firmen auf kommerzielle Desktop-GIS zurück oder lassen sich ganz individuelle Systeme bauen, die aus Web- und Desktop-GIS bestehen. Zu den bekanntesten GIS zählen Produkte von ESRI, Autodesk, Pitney Bowes oder CAIGOS.

In der Geophysik wird die Erde nicht als Kugel, sondern als Ellipsoid bezeichnet<sup>12</sup>. Wenn man jedoch eine Karte elektronisch auf einem Bildschirm betrachtet, dann sieht man ein Rechteck und keine Anzeichen der Krümmung eines Globus. Die Problematik der Projektion der Erde auf eine flache Darstellung hat über den Lauf der Jahre mehrere Lösungen produziert, die jedoch alle mit Koordinatensystemen und Projektionsrechnungen zu tun haben und bietet Stoff für ein eigenes Wissenschaftsfeld. Aufgrund dessen versuchen die nächsten Zeilen, die Problematik und Anwendung im Prototyp kurz zu beschreiben.

In einem GIS muss die Projektion zwangsläufig enthalten sein und das bestenfalls für mehrere Projektionstypen. Die meisten Web-Karten wie Google Maps oder Bing Maps

---

<sup>9</sup>Dr. Simon-Martin Neumair und Prof. Dr. Hans-Dieter Haas 2018.

<sup>10</sup>Tomlinson 2012.

<sup>11</sup>Lovison-Golob 2002.

<sup>12</sup>Jung 1956.



benutzen die Projektion World Geodetic System 1984 (kurz WGS 84) mit dem Koordinatenreferenzsystem (engl. CRS) der European Petroleum Survey Group (kurz EPSG) 4326, welches Koordinaten in Grad darstellt<sup>13</sup>. OpenLayers hingegen benutzt standardmäßig WGS 84 mit EPSG 3857, welches Koordinaten in Metern zur Ursprungsordinate darstellt<sup>14</sup>. Die Abbildung 2.2 zeigt die Koordinaten eines Punktes in Berlin in beiden Koordinatenreferenzsystemen.

Abbildung 2.2: Bildschirmaufnahme der Transformation von EPSG 4326 zu EPSG 3857 von epsg.io<sup>15</sup>

Im Wesentlichen werden im Prototyp die oben beschriebenen Projektionen verwendet. Die Geodaten der Filialen sowie der Zensusgebiete sind in EPSG 4326 erfasst und müssen dementsprechend vor der Darstellung transformiert werden. Entsprechende Funktionen sind im Kapitel 4 „beschrieben.

## 2.3 Genutzte Technologie

Für die prototypische Ausarbeitung des Modells wurde auf modernste Technologien und Frameworks zugegriffen. So wird als Karten-Framework `/gl(s)(ol)` in der Version 6.4.3 verwendet sowie `/gl(s)(angular)` in der Version 10. Die Darstellung 2.3 zeigt die genutzten Technologien als Grafik.

<sup>13</sup> WGS 84 - WGS84 - World Geodetic System 1984, used in GPS - EPSG 2019.

<sup>14</sup> WGS 84 / Pseudo-Mercator - Spherical Mercator, Google Maps, OpenStreetMap, Bing, ArcGIS, ESRI - EPSG 2019.

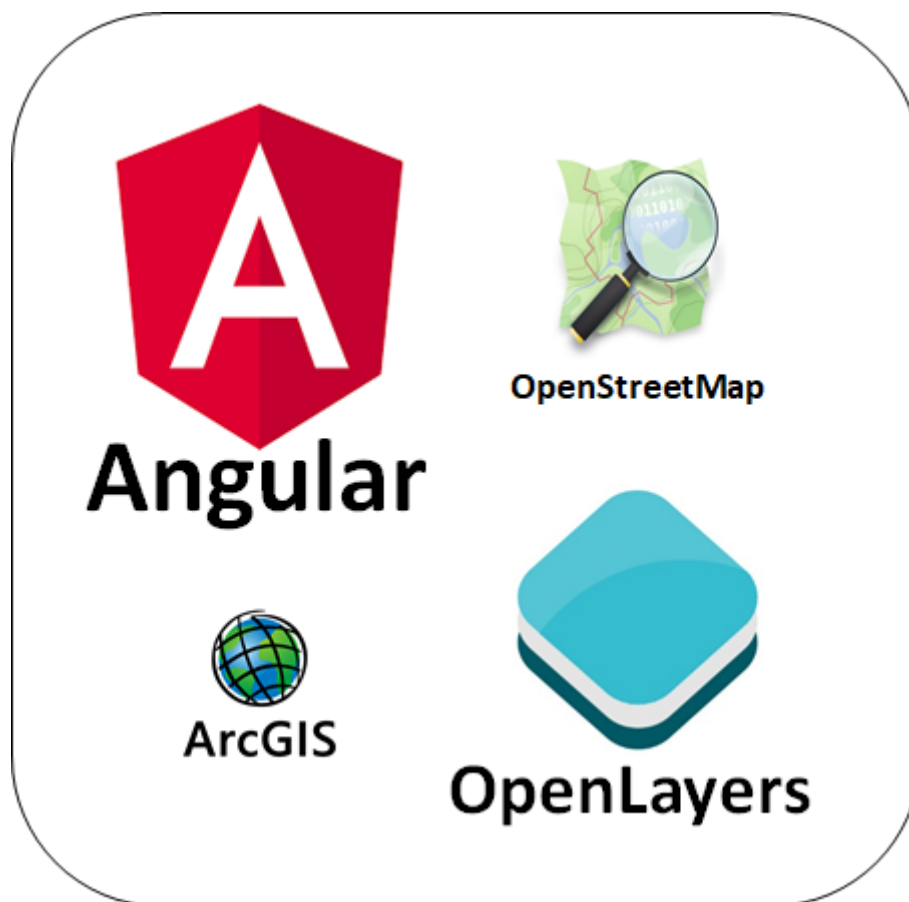


Abbildung 2.3: Eigene Abbildung des Technologie Stacks der Anwendung

OpenLayers bietet ein breites Portfolio an Funktionen und Features passend für sämtliche Anforderungen realer Geo-Informationssysteme, die in der Praxis verwendet werden. Im Bezug auf die prototypische Anwendung dieser Arbeit sind vor allem die Unterstützung der Darstellung von Punkten (Filialen) und der Zensusgebiete in GeoJSON-Format auf verschiedenen Layern notwendig sowie die einfache Konfigurierbarkeit von Karten-Interaktionen, wie zum Beispiel das Platzieren, Verschieben und Editieren von Punkt-Objekten (Filialen) auf der Karte.

Weiterführend soll die Anwendung schnell, kompakt und modern sein, um die Relevanz aus Gründen der Performance auf dem Markt gewährleisten zu können. Daher erfolgt die Umsetzung mit dem auf TypeScript basierenden Framework Angular. Besonderes Augenmerk liegt hierbei im Prototyp eigentlich nur auf der simplen, kompakten und schnellen Auslieferung eines Web-Servers als Host der Anwendung. Zu den für die weiterführende

---

Entwicklung relevant werdenden Features des Frameworks zählen eine große Community, einen fortlaufenden Support sowie eine fortlaufende Entwicklung durch Google, die Verwendung von TypeScript, einem Superset von JavaScript mit verbesserter Funktionalität und sämtlichen Features, die für Entwicklung einer effizienten und anspruchsvollen Single-Page-Webanwendung benötigt werden.

# Kapitel 3

## Konzept

Die Algorithmen und Prozesse einer Filialplanung geben einen allgemeinen Anwendungsfall moderner GIS wieder. Neben einer einfachen Hintergrundkarte sind die Mitarbeiter auf Zeichenwerkzeuge, Geo-Daten-Anzeige, thematische Karten und Kennzahlenberechnungen angewiesen, um akkurate und fundierte Prognosen und Planungen treffen zu können. Viele theoretische Konzepte und Prozesse passieren hierbei im Hintergrund und sind nicht direkt ersichtlich.

In den folgenden Kapiteln werden Prozesse der Standortanalyse beschrieben und der Fokus auf das Gravitationsmodell von Huff als Algorithmus zur Bestimmung des Marktanteils gelegt. Ebenso wird die daraus entstehende Architektur des Prototyps vorgestellt.

### 3.1 Algorithmus und Prozesse

Die Filialplanung ist ein Prozess, der sich aus mehreren Teilprozessen zusammensetzt. Einer dieser Teilprozesse ist die Standortanalyse bezogen auf Filialen. Die Wahl eines Standortes ist keinesfalls immer eindeutig und anhand des potenziellen Umsatzes der neuen Filiale zu erkennen. So kann es zum Beispiel durchaus sinnvoll sein, eine Filiale trotz möglicher Kannibalisierung anderer eigener Filialen dennoch zu eröffnen, weil dies gleichzeitig zu Umsatzeinbußen bei Konkurrenzfilialen führt. Der eigene Marktanteil und Gesamtumsatz ist der entscheidende Faktor bei der Filialplanung. Durch die Anwendung ausgewählter Algorithmen gilt es folgende Leitfrage zu beantworten:

Wo befindet sich der ideale Standort, um eine neue Filiale zu eröffnen?

Um diese Frage fundiert beantworten zu können, müssen zunächst folgende Fragen beantwortet werden:

Wo kann eine neue Filiale eröffnet werden?

Was ist mit Konkurrenten, was ist mit Kannibalisierung der eigenen Filialen?

Wie kann sichergestellt werden, dass sich der Gesamtumsatz durch die Neueröffnung steigert?

Die Suche nach dem idealen Standort beginnt zunächst bei der Eingrenzung möglicher Standorte. Im modernen Stadtbild ist die Anzahl freier Standorte begrenzt. Meist bestimmt das Angebot die Möglichkeiten.

Existiert nun eine Liste möglicher Standorte, muss für jeden Standort der Einfluss auf das bestehende Filialnetz erfasst werden. Das bestehende Netz kann nur eigene Filialen beinhalten, um die Kannibalisierung des eigenen Netzes durch eine Neueröffnung zu analysieren, oder Konkurrenzfilialen und Lager einschließen, um den Einfluss auf den Gesamtmarkt zu berechnen.

Wichtige Parameter für die Berechnung des Marktanteils der Filialen im Netz sind Attraktivität, Nähe zu Zielgruppen und die Entfernung zu anderen Filialen.

Über das Huff-Modell kann die Auswirkung auf den Marktanteil aller Standorte berechnet werden. Im Folgenden werden das Modell und zugehörige Komponenten im Detail vorgestellt.

Gravitationsmodelle in der Ökonomie leiten sich vom newtonschen Gravitationsmodell ab und beschreiben den Einfluss der Marktgrößen verschiedener Länder (meist das BIP) und der Entfernung zwischen beiden auf die bilateralen Handelsströme zwischen den Ländern. Das *Huff-Modell* (engl. Huff Gravitation Model) ist ein mathematisches Modell zur Abgrenzung und Segmentierung von Marktgebieten, welches sich direkt aus deterministischen Modellen zur Anwendung von Gravitationsmodellen in der Bestimmung von Einzugsgebieten im Einzelhandel von William J. Reilly und P.D. Converse ableitet<sup>12</sup>. Das Modell bestimmt die Wahrscheinlichkeit, mit der Kunden einen Standort (Filiale, Einkaufszentrum) in Abhängigkeit von Distanz und Attraktivität aufsuchen<sup>3</sup>. Die Formel wird im

---

<sup>1</sup>Reilly 1931.

<sup>2</sup>Converse 1949.

<sup>3</sup>*Funktionsweise des Huff-Modells—ArcGISPro / Dokumentation* 2021.

Allgemeinen wie folgt dargestellt:

$$P_{ij} = \frac{A_i^\alpha / D_{ij}^{-\beta}}{\sum_{i=1}^n (A_i^\alpha / D_{ij}^{-\beta})} \quad (3.1)$$

Dabei gilt:

$P_{ij}$  = die Wahrscheinlichkeit, mit der Kunde j in Filiale i einkauft;

$A_i$  = ein Maß für die Attraktivität der einzelnen Filiale i;

$D_{ij}$  = die Entfernung von Kunde j zu Filiale i;

$\alpha$  = ein Exponent, der auf die Attraktivität angewendet wird, um die Wahrscheinlichkeit von attraktiveren Standorten zu vergrößern;

$\beta$  = ein Exponent, der auf die Entfernung angewendet wird, um die Wahrscheinlichkeit von entfernten Standorten zu verringern;

n = die Anzahl der Filialen.

Die Wahrscheinlichkeiten werden nun auf der Karte als Punkte dargestellt, die rund um den Standort platziert werden. Die Punkte dieser Wahrscheinlichkeiten werden zu Isowahrscheinlichkeitslinien verbunden. So entstehen zu jedem Standort verschiedene Gravitationsebenen, die farblich gekennzeichnet werden. Die Beeinflussung der verschiedenen Gravitationsebenen führt zu mehreren Farbverläufen, die ein komplexes Bild der Standortlandschaft bilden. In seiner einfachsten Form berücksichtigt das Modell nur die Distanz und eine simple Kennzahl der Attraktivität (zum Beispiel in Form eines Rankings) für die Wahrscheinlichkeitsberechnung. Hierzu wird zunächst ein maximaler Einflussbereich der Filialstandorte definiert. Dieser Bereich stellt die Grundlage der Berechnungen dar und muss deswegen bekannt und mit berechenbaren Kennzahlen gefüllt sein. Zur Bestimmung des Bereiches können einfache geografische Abstände oder Gebiete benutzt werden, wie zum Beispiel eine Berechnung auf Grundlage Berlins als Einflussbereichs. Vor allem aber kommen zeitliche oder örtliche Parameter zum Einsatz. So macht es aus wirtschaftlicher Sicht viel mehr Sinn das Gebiet anhand von Fahrzeitzone zu berechnen. Ein potenzieller Kunde aus Brandenburg würde wahrscheinlich auch in einer Filiale in Berlin einkaufen gehen, wenn diese attraktiver, örtlich näher oder besser zu erreichen ist. Berechnet wird also ein Einzugsbereich um die Filiale herum. Ob dies nun eine maximale Fahrtzeit von 30 Minuten ist oder eher eine maximale Distanz von 30 Kilometern, ist auf die einzelne Filiale oder den gewählten Standard der Berechnung zurückzuführen.

Um das Modell korrekt kalibrieren zu können, genauer gesagt die Parameter  $\alpha$  und  $\beta$  empirisch bestimmen zu können, müssen folgende Schritte befolgt werden<sup>4</sup>:

- Abgrenzung des Erhebungsgebiets
- Unterteilung des Erhebungsgebiets in Untergebiete
- Zentroiden der Gebiete festlegen
- Alle konkurrierende Einrichtungen identifizieren und Koordinaten erfassen
- Entfernungen zwischen den Zentroiden aller Gebiete und aller Einrichtungen berechnen
- Spezifizieren aller Eigenschaften zur Kundenbeeinflussung
- Wirtschaftliche, soziale und demografische Daten für Gebiete angeben
- Studie durchführen für die Frequenz in welcher Kunden Einrichtungen besuchen

Der Parameter  $\alpha$  sollte nun normalerweise aus den Studienergebnissen abgeleitet werden, indem für die Abhängigkeit der Attraktivität einer Filiale mit der wirklichen Besucherzahl der Filiale ein Faktor bestimmt wird. Im Prototyp wird diese Zahl auf 1,5 festgesetzt und somit der Attraktivität einer Filiale eine erhöhte Wichtigkeit beigemessen.

Weiterführend muss nun bestimmt werden, wie und ob sich das Potenzial über den Verlauf der Distanz des Einzugsbereiches verändert. Dieses Potenzial äußert sich im Modell über den Parameter  $\beta$ . Bleibt das Potenzial konstant, würde dies bedeuten, dass die Kunden in den äußeren Bereichen des Gebiets mit der gleichen Wahrscheinlichkeit in die Filiale kommen, wie die Kunden in den unmittelbar angrenzenden Bereichen. Andererseits wäre ein linear abnehmendes Potenzial ebenso nicht realitätsgetreu, da Kunden ab einer Distanz, die zu groß für den Fußweg wäre, eher das Auto oder den öffentlichen Nahverkehr wählen und dann eventuell direkt zu einer attraktiveren Filiale weiter wegfahren würden. Daher kann als grundlegende Distanzfunktion quasi eine beliebig komplizierte Formel gewählt werden. Aus Gründen der Vereinfachung und Demonstration wird für den Prototyp eine einfache linear abnehmende Distanzfunktion gewählt, welche den Parameter  $\beta$  auf 1,5 festlegt.

---

<sup>4</sup>Huff und McCallum 2008.

Nachdem nun zunächst die Potenzialberechnung für eine einzelne Filiale anhand der beschriebenen Parameter und Funktionen erfolgen konnte, gilt es nun das Potenzial in einem bestehendem Filialnetz zu berechnen. Als Ergebnis wird hierbei eine Wahrscheinlichkeitsberechnung für sämtliche Filialen des Netzes erwartet, sodass jedem Feld des summierten Gesamt-Einzugsgebietes ein Wahrscheinlichkeitswert zugeordnet werden kann, der, beeinflusst von sämtlichen anderen Filialen des Netzes, für jede Filiale des Netzes unterschiedlich sein und dementsprechend eingefärbt werden kann. Das Endergebnis zeigt somit die beschriebene farbliche Gravitationskarte.

## 3.2 Architektur

Die Architektur der Anwendung ergibt sich hauptsächlich aus den fachlichen Anforderungen und technischen Voraussetzungen.

Das Diagramm 3.1 zeigt die Komponenten der Anwendung im Zusammenspiel in einer eigenen Darstellung.

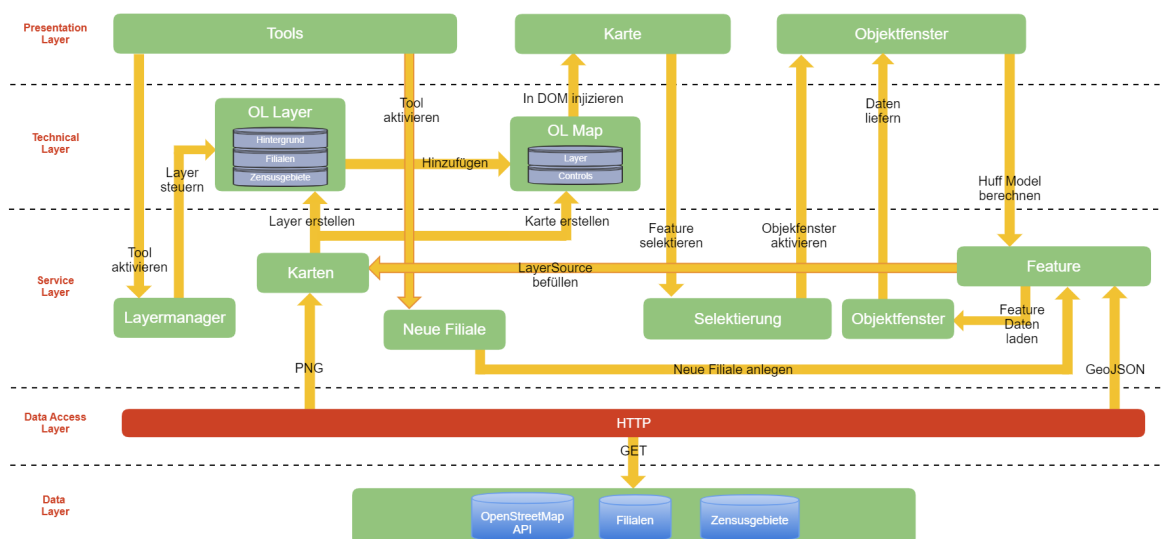


Abbildung 3.1: Komponentendiagramm der Anwendung in eigener Darstellung

Die Anwendung baut im wesentlichen auf vier Komponentengruppen auf:



- Angular Komponenten
- Angular Services
- OpenLayers Karte und Layer
- Geo-Daten

OpenLayers als GIS-Software bildet hierbei den Kern in Form der Karte. Die Karte bietet an sich bereits einen großen Teil der GIS-Werkzeuge, die für die Anwendung benötigt werden. Die Karte stellt die Layer und deren Sourcen in der richtigen Projektion dar und bietet die Selektierungs-Interaktion der einzelnen Features. Sie sorgt also dafür, dass die ovale Weltkarte auf den flachen Bildschirm projiziert wird und der Klick auf eine Pixel-Koordinate des Bildschirms umgerechnet eine geografische Koordinate widerspiegelt. Die Karte wird in der Anwendung im BaseMap-Service mit Parametern erstellt und in der OpenLayersMap-Komponente in den DOM injiziert.

Der Karte werden drei Layer hinzugefügt:

- Hintergrund-Layer
- Filial-Layer
- Zensusgebiete-Layer

Fachlich betrachtet kann der Hintergrund-Layer auch als Hintergrundkarte bezeichnet werden, technisch ist er jedoch ebenso ein Layer wie die Filialen und Gebiete. Die Layer werden im BaseMap-Service erstellt und der Karte in der OpenLayersMap-Komponente hinzugefügt. Zu den Layern gehören entsprechende Sources, über die Features in den Layer eingebunden und somit dargestellt werden können.

Der Hintergrund-Layer ist ein Kachel-Layer (Englisch: Tile-Layer). Der Layer wird durch ein Gitter (Englisch: Grid) in einzelne Kacheln eingeteilt, die alle einzeln mit Bildern befüllt werden. Dies ist ein Optimierungsschritt, der den Datentransfer reduziert sowie die Renderingzeit und -performance verbessert. Die Kachelbilder werden über Http-Requests an die OpenStreetMap-API geladen.

Die beiden Feature-Layer der Filialen und Gebiete sind Vektor-Layer (Englisch: Vector-Layer). Die jeweiligen Sources der Layer lesen die Features über lokale GeoJSON-Dateien im Feature-Service ein und befüllen den Layer im BaseMap-Service mit den Sourcen.

Nun sind die Features über ihre Layer auf der Karte zu sehen und können über eine Selektions-Interaktion in der Karte ausgewählt werden. Über den SelectFeature-Service wird daraufhin das Objektfenster aktiviert, welches Informationen über das Feature enthält und die Berechnung des Huff-Modells für die selektierte Filiale starten kann. Die Daten des Features werden über den Objektfenster-Service in das Objektfenster injiziert. Über die Tool-Komponente kann eine neue Filiale auf die Karte gesetzt und die Layer gesteuert werden.

Sobald eine neue Filiale auf der Karte gesetzt ist, wird über den Neue-Filiale-Service ein weiteres Feature in die Filiale-LayerSource geladen. Über das Objektfenster kann nun die Berechnung des Huff-Modells gestartet werden.

Über das LayerManager-Tool kann im LayerManager-Service die Sichtbarkeit und Reihenfolge der Layer gesteuert werden.

# Kapitel 4

## Implementierung

Das Kapitel Implementierung erfasst die technische Dokumentation des erarbeiteten Prototyps. Im Detail werden in den folgenden Seiten die technische Umsetzung des in Kapitel 3 entworfenen Konzepts beschrieben. Beschriebene Funktionalitäten werden mit Bildauschnitten unterstützt.

Die Anwendung wurde als Angular Projekt mittels der Angular CLI (Command Line Interface) erstellt. Über den CLI Befehl

Codeauszug 4.1: Erstellen eines neuen Projektes

```
1 $ ng new gravitationsmodel
```

generiert die CLI ein kompilierbares und ausführbares Angular Projekt mit essentiellen Abhängigkeiten und Strukturen. Angular verwendet standardmäßig NPM als package manager. Eine *package.json*, welche sämtliche Abhängigkeiten dokumentiert, wird bereits mit erstellt. Um das Setup abzuschließen, müssen weitere Abhängigkeiten in Form von *npm packages* installiert werden. Über den Befehl

Codeauszug 4.2: Hinzufügen des OpenLayers Pakets

```
1 $ ng add ol
```

fügt die CLI automatisch das Paket von OpenLayers und für die korrekte Typisierung in TypeScript das notwendige *types* Paket für OpenLayers hinzu.

Nachdem die technischen Voraussetzungen geschaffen sind, kann mit der Implementierung begonnen werden. Auch hierbei bietet die CLI Unterstützung in Form von *Scaffolding* Befehlen.

Codeauszug 4.3: Angular schematic Befehl zum Erstellen

```
1 $ ng generate <schematic> [name]
```

generiert Komponenten, Services, Models, Klassen und weitere Code-Gerüste durch den passenden Präfix-Parameter und Namen. Angular Komponenten bestehen meist aus einer TypeScript-Klasse (*component.ts*), einem Template (*component.html*) sowie Dateien für Styling (*css* oder *scss*) und Tests (*component.spec.ts*).

Codeauszug 4.4: Erstellen der Objektfensterkomponente

```
1 $ ng generate component objektfenster
```

erstellt *objektfenster.component.ts*, *objektfenster.component.html* sowie *objektfenster.scss* und *objektfenster.component.spec.ts* Dateien.

Mit Hilfe der CLI lassen sich so die Code-Gerüste schnell erstellen und die CLI übernimmt sogar die in Angular nötige *Dependency Injection* indem neue Komponenten direkt in der entsprechenden *module.ts* deklariert werden<sup>1</sup>.

Ebenfalls im Zuge der Projekterstellung über die CLI werden Konfigurationsdateien angelegt, die wichtige Einstellungen zum Kompilieren, Bau, Start und Hosten (engl. host) der Anwendung enthalten.

Die Anwendung kann nun über

Codeauszug 4.5: Starten der Anwendung

```
1 $ ng serve
```

gestartet werden. Der Befehl kompiliert, baut und startet die Anwendung über einen lokalen Webserver. Über *localhost:4200* kann die Anwendung im Browser aufgerufen werden.

---

<sup>1</sup>Google 2021b.

Der Kern der Anwendung ist eine Karte mit der interagiert wird. Um diese darzustellen, muss zunächst ein OpenLayers Map-Objekt erstellt und in den DOM eingehängt werden<sup>2</sup>. Dies geschieht in der OpenLayersMap-Komponente und dem BaseMap-Service. Über das bereits installierte OpenLayers Paket wird das Map-Objekt importiert und initialisiert.

Codeauszug 4.6: Erstellung der Karte

```
1
2  const targetId = 'map';
3  const longitude = 13.451338;
4  const latitude = 52.503707;
5  const zoomLevel = 11;
6
7  const coordinate = fromLonLat([longitude, latitude]);
8
9  const view = new View({
10    center: coordinate,
11    zoom: zoomLevel
12  });
13
14  const map = new Map({
15    target: targetId,
16    layers: [],
17    view,
18  });
```

Die Karte wird mit der notwendigen ID des HTML-Elements, in welchem die Karte angezeigt werden soll, und einem View initialisiert. Das View-Objekt besteht aus einer Center-Koordinate und der initialen Zoomstufe und stellt den Begrenzungsrahmen (engl. Bounding Box) der Karte dar. Zu beachten ist hierbei die Transformation der Koordinaten von EPSG:4326 in das in OpenLayers standardmäßig genutzte EPSG:3857 über die Funktion *fromLonLat*. Die Karte wird ebenfalls mit Standard-Interactions und Standard-Controls initialisiert, jedoch sind noch keine Layer hinzugefügt. Somit ist jetzt auch noch nichts auf der Karte zu sehen. Lediglich bereits erwähnte Controls und Interactions sind sichtbar und bedienbar. Zu den Controls zählen:

---

<sup>2</sup>OpenLayers 2021c.

- Zoom
- Rotate (Unsichtbar bei Rotation 0)
- Attribution

Sowie Interactions:

- Drag rotate
- Drag pan
- Drag zoom
- Double click zoom
- Mouse wheel zoom
- Pinch rotate (Touchscreen)
- Pinch zoom (Touchscreen)
- Keyboard pan
- Keyboard zoom

Als nächstes wird der Hintergrundkarten-Layer hinzugefügt. Hierzu wird ein neuer Tilelayer initialisiert, eine neue Layer-Quelle (engl. Source) hinzugefügt und der Layer der Karte hinzugefügt.

Codeauszug 4.7: Erstellung der Hintergrundkarte

```
1
2  const backgroundLayer = new TileLayer();
3  backgroundLayer.setSource(new OSM());
4  backgroundLayer.set('name', 'Hintergrund');
5
6  map.addLayer(backgroundLayer);
```

Der Hintergrundkarten-Layer ist ein Kachel (engl. Tile) Layer, da dies die Datenabfrage an den Kartendienstleister, in diesem Fall OpenStreetMaps, reduziert und eine optimale Render-Performance erzeugt. Ein Tile-Layer teilt den Kartenausschnitt in ein Gitter (engl. Grid) aus vielen kleinen Kacheln ein. Jeder dieser Kacheln setzt ihren eigenen Http-Request an den in der Source angegebenen Provider mit den Kachel-Koordinaten und Zoom-Stufe als Parameter ab und bekommt einen Kartenausschnitt in PNG-Format zurück. Die einzelnen Bilder werden dann im Cache des Browsers gespeichert und sorgen somit für verminderten Datentransfer sowie schnelles Laden bei erneutem Aufruf. OpenLayers bietet für OpenStreetMap sowie Bing Maps eigene Source-Objekte, welche für Bing nur noch einen API-Key benötigt. Um den Layer später einmal einfach identifizieren zu können, wird dem Layer noch eine Name-Eigenschaft zugewiesen.

Nach der Hintergrundkarte müssen nun noch Layer für die Filialen sowie die Zensusgebiete implementiert werden. In der OpenLayersMap-Komponente werden dazu zwei neue Layer mit passenden Source-Objekten angelegt.

Codeauszug 4.8: Erstellung der Filial- und Gebietelayer

```
1
2  const filialLayer = new VectorImageLayer({
3    visible: true,
4    zIndex: 2
5  });
6  filialLayer.set('name', 'Filialen');
7  filialLayer.setSource = new VectorSource({
8    format: this.geoJSONFormat,
9    strategy: bbox
10 });
11
12 const gebieteLayer = new VectorImageLayer({
13   visible: true,
14   zIndex: 1
15 });
16 gebieteLayer.set('name', 'Gebiete');
17 gebieteLayer.setSource = new VectorSource({
18   format: this.geoJSONFormat,
19   strategy: bbox
```

```
20  });  
21  
22  map.addLayer(filialLayer);  
23  map.addLayer(gebieteLayer);
```

Bei der Initialisierung der Layer muss die Z-Ebene der Filialen höher sein, da sie später in der Anwendung über den Gebieten liegen soll und nicht von diesen überlagert werden soll. Bei VectorSources kann zwischen den Ladestrategien Tile und Bounding Box entschieden werden. Sie bestimmt, wann neue Features auf der Karte geladen und angezeigt werden sollen. Bei der Tile-Strategie wird wie bei der Hintergrundkarte der Kartenausschnitt in ein Kachelgitter unterteilt und bei der Bounding Box Strategie wird der gesamte Kartenausschnitt (engl. Bounding Box) gewählt. Bei besonders vielen Daten sollte auf die Tile-Strategie zurückgegriffen werden, aber im Prototypen reicht die Bounding Box Strategie aus.

OpenLayers definiert standardmäßig für jeden Vector Layer einen Stil, der die einzelnen Features je nach Geometrietyp auf der Karte darstellt. Soll dieser Stil geändert werden, muss auf dem Layer ein neuer Stil definiert werden. Dies kann über ein statisches Style-Objekt erfolgen oder über eine dynamische Style-Funktion.

#### Codeauszug 4.9: Erstellen des Filialstyles

```
1  
2  const filialStyle = new Style({  
3    image: new Icon({  
4      color: '673ab7'  
5    }),  
6    text: new Text({  
7      fill: new Fill({  
8        color: 'FFFFFF'  
9      })  
10   })  
11  });  
12  
13  const filialStyleFunction = (feature, resolution) => {  
14    if (feature.get('selected') === true) {
```



```
15     filialStyle.getImage()
16     .setSource('assets/geometries/icons/PIN_selected.svg');
17   } else {
18     filialStyle.getImage()
19     .setSource('assets/geometries/icons/PIN.svg');
20   }
21   filialStyle.getText().setText(feature.getId().toString());
22   return filialStyle;
23 }
24
25 filialLayer.setStyle(filialStyleFunction);
```

Nun werden realistische Geo- sowie Marktdaten benötigt.

Die Filialen sind einfache Koordinaten im Raum Berlin. Ein Testdatensatz mit 97 Koordinaten wurde über [geojson.io](https://geojson.io)<sup>3</sup> angelegt. Die Koordinatenliste wird bereits in GeoJSON angelegt und die Einträge müssen lediglich um eine ID, Anzahl der Parkplätze sowie die Verkaufsfläche der Filiale ergänzt werden.

Ein Testdatensatz mit 1220 Zensusgebieten des Geoportals Berlin<sup>4</sup> wurde über das ArcGIS Hub<sup>5</sup> heruntergeladen. Die Gebiete wurden ebenfalls bereits in GeoJSON exportiert. Da es sich jedoch um zu viele Einträge für eine manuelle Ergänzung der Marktdaten handelt, werden Marktdaten für die einzelnen Gebiete beim Einlesen der Datei ergänzt.

Die Datensätze werden über das Feature Format GeoJSON in OpenLayers eingelesen und in eine FeatureCollection (bei einzelnen Daten in ein Feature) umgewandelt, welche der jeweiligen Layer Source hinzugefügt wird.

Codeauszug 4.10: Laden der GeoJSON-Dateien der Filialen und Gebiete

```
1
2   this.http.get('../assets/filialen.json').subscribe(value => {
3     const readFeatures = this.geoJSONFormat.readFeatures(value);
4     readFeatures.forEach(feature => {
5       feature.setId(feature.get('id'));
6       feature.set('type', FeatureTypeEnum.FILIALE);
```

<sup>3</sup>Website zur Generierung von GeoJSON [geojson.io](https://geojson.io)

<sup>4</sup>Stadtentwicklung und Wohnen 2021.

<sup>5</sup>Umweltzone 2018.

```
7     });  
8     filialLayerSource.addFeatures(readFeatures);  
9     });  
10  
11     this.http.get('../assets/zensusgebiete.json').subscribe(value => {  
12         const readFeatures = geoJSONFormat.readFeatures(value);  
13         readFeatures.forEach(feature => {  
14             feature.setId(feature.get('id'));  
15             feature.set('type', FeatureTypeEnum.ZENSUSGEBIET);  
16         });  
17         gebieteLayerSource.addFeatures(readFeatures);  
18     });  
19  
20 }
```

Es handelt sich bei den Filial- sowie Gebietsdaten um fiktionale Daten, jedoch sollten diese einen repräsentativen Charakter haben und möglichst nah an realistischen Marktdaten gewählt werden. Als Referenz der Parkplätze und Verkaufsfläche dienen Werte der Statistik „Entwicklung der durchschnittlichen Verkaufsfläche der Lebensmittel-Discountmärkte Lidl in Deutschland in den Jahren 2009 bis 2019 (in Quadratmetern)“, von handelsdaten.de<sup>6</sup> sowie die Anlage zu Nummer 51.11 der Verwaltungsvorschrift zu Landesbauordnung Nordrhein-Westfalen<sup>7</sup>. Aus den Quellen lässt sich eine durchschnittliche Verkaufsfläche von 898 Quadratmetern sowie 1 Parkplatz pro 10 Quadratmetern Verkaufsfläche erschließen. Um den Filialen verschiedene Verkaufsflächen und Parkplätze zuzuordnen, wurden Zufallszahlen im Bereich 798 bis 998 für die Verkaufsfläche gewählt sowie die sich daraus ergebende Anzahl der Parkplätze.

Bei den Marktdaten der Gebiete handelt es sich um Angaben zu Anzahl der Einwohner, durchschnittliche Kaufkraft und durchschnittliche Ausgaben für Lebensmittel pro Gebiet. Als Referenz für die Marktdaten dienen Werte der Statistik „Kaufkraft je Einwohner nach Bundesländern im Jahr 2021“, von statista.de<sup>8</sup> sowie Werte der Statistik „Konsumausgaben

---

<sup>6</sup> *Lidl - Verkaufsfläche der Discountmärkte in Deutschland | Zeitreihe | Handelsdaten.de | Statistik-Portal zum Handel* 2019.

<sup>7</sup> Ministeriums für Städtebau und Wohnen 2000.

<sup>8</sup> *GfK Kaufkraft je Einwohner nach Bundesländern 2021* 2021.

privater Haushalte in Deutschland, vom Statistischen Bundesamt<sup>9</sup>. Aus den Quellen lässt sich eine durchschnittliche Kaufkraft pro Einwohner pro Monat (kurz DKpEpM) von 1.819 € für Berlin sowie durchschnittliche Ausgaben für Nahrungsmittel pro Monat pro Haushalt (kurz DAfNpMpH) von 356 € für Deutschland erschließen. Aus Gründen der Einfachheit ergeben sich daraus die Kennzahlen pro Gebiet wie folgt:

$$KaufkraftproGebiet = Einwohner * DKpEpM \quad (4.1)$$

$$AusgabenLebensmittelproGebiet = Einwohner * DAfNpMpH \quad (4.2)$$

Da leider keine genauen Angaben der Einwohner pro Zensusgebiet verfügbar sind, wurde die Anzahl der Einwohner anhand der Größe des Gebiets mal dem Faktor 0.0045, welcher empirisch bestimmt wurde, berechnet:

$$EinwohnerproGebiet = GrößeGebiet * 0.0045 \quad (4.3)$$

Nachdem nun Marktdaten und Geodaten erfolgreich simuliert wurden und in der Karte zu sehen sind, werden zunächst die UI-Elemente der Oberfläche implementiert. Damit schlussendlich die Berechnung nach dem Huff-Modell-Algorithmus erfolgen kann, muss die Nutzbarkeit (engl. usability) der Anwendung etabliert werden. Bisher existieren in der Anwendung lediglich eine Karte mit Standard-Interaktionen mit Layern für einen Kartenhintergrund, Filialen und Zensusgebiete.

Implementiert werden folgende UI-Elemente (siehe auch Abbildung 4.1):

- Werkzeug-Set
  - Werkzeug: Neue Filiale anlegen
  - Werkzeug: Layermanager
- Objektfenster für Filialen und Gebiete

---

<sup>9</sup>Bundesamt 2020.

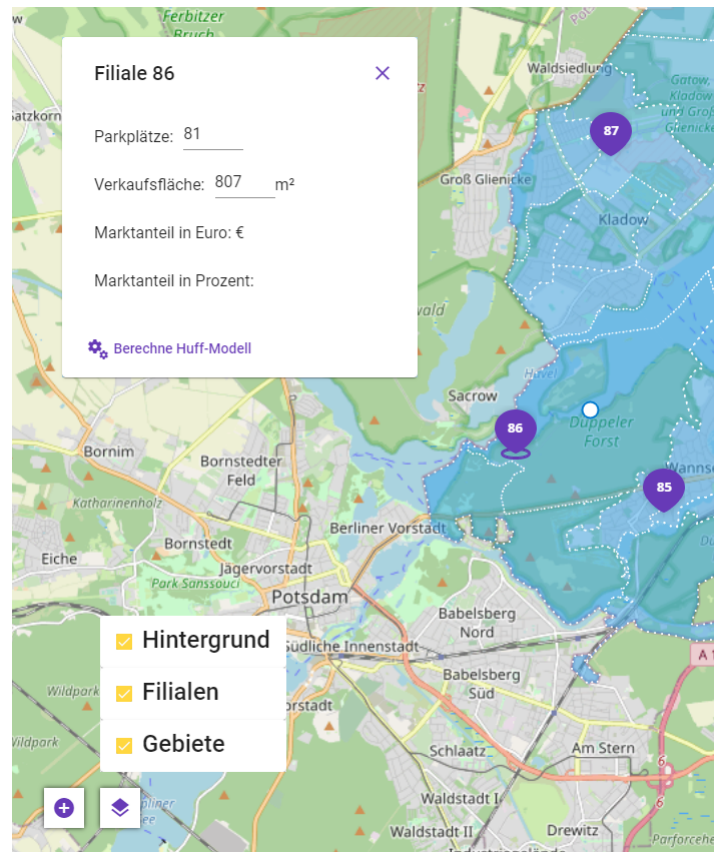


Abbildung 4.1: Bildschirmausschnitt der UI-Elemente

Bei der Umsetzung der UI-Elemente wurde auf die Komponenten-Bibliothek *Angular Material* für fertige UI Komponenten zugegriffen<sup>10</sup>. Zu den benutzten Komponenten zählen Material Button<sup>11</sup>, Icon<sup>12</sup>, Card<sup>13</sup>, List<sup>14</sup>, Input<sup>15</sup> sowie Checkbox<sup>16</sup>.

Um eine bessere Visualisierung einzelner Featurelayer zu ermöglichen, sollen die Layer einzeln aus- beziehungsweise eingeblendet werden können. Dies geschieht im Werkzeug Layermanager. Hierzu müssen also innerhalb des Werkzeuges alle Layer angezeigt und über eine Checkbox die Sichtbarkeit verändert werden können.

---

<sup>10</sup>Google 2021c.

<sup>11</sup>Google 2021d.

<sup>12</sup>Google 2021g.

<sup>13</sup>Google 2021e.

<sup>14</sup>Google 2021i.

<sup>15</sup>Google 2021h.

<sup>16</sup>Google 2021f.

Für die Konfiguration des Layermanagers werden zunächst über den BaseMap-Service alle Layer der Karte abgerufen. Aus den Layer-Objekten werden nun Namens- und Sichtbarkeitseigenschaften in jeweils ein neues LayerManagerEntry-Objekt extrahiert. Im Layermanager können nun der Name und die Sichtbarkeit pro Layer dargestellt werden, wobei die Sichtbarkeit als Checkbox dargestellt wird. Mit der Interaktion einer Checkbox wird über den zugehörigen Namen der entsprechende Layer im BaseMap-Service identifiziert und das *Visible* Attribut angepasst. Der Layermanager erscheint als Fenster nach Aktivierung des entsprechenden Knopfes (Icon: *layer*, siehe Abbildung 4.1).

Codeauszug 4.11: Layermanager

```
1
2 type LayerManagerEntry = { layerIdentifier: LayerIdentifier, visibility: ↵
    boolean };
3
4 public layerManagerEntries: LayerManagerEntry[];
5
6 this.layerManagerEntries = ↵
    baseMapService.getLayers().getArray().map(layer => {
7     return {
8         layerIdentifier: layer.get('name'),
9         visibility: layer.getVisible()
10    } as LayerManagerEntry;
11 });
12
13 setLayerVisibility(event: any, layerIdentifier: LayerIdentifier): void {
14     if (event.checked) {
15         // show layer
16         this.baseMapService.getLayers().getArray().find(layer => ↵
            layer.get('name') === layerIdentifier).setVisible(true);
17     } else {
18         // hide layer
19         this.baseMapService.getLayers().getArray().find(layer => ↵
            layer.get('name') === layerIdentifier).setVisible(false);
20     }
21 }
```

Vervollständigt wird das Werkzeug-Set durch die Interaktion, eine neue Filiale auf die Karte zu setzen. OpenLayers bietet hierzu eine Draw-Interaktion, die es erlaubt einer Layersource ein neues Feature hinzuzufügen.

Codeauszug 4.12: Draw-Interaktion

```
1
2 private addDrawInteraction(): void {
3   this.drawInteraction = new Draw({
4     type: GeometryType.POINT,
5     source: this.tempFilialeLayer.getSource(),
6     style: NEW_STORE_INTERACTION_STYLE
7   });
8
9   this.drawInteraction.on('drawend', (drawEndEvent) => {
10     const feature = drawEndEvent.feature;
11
12     // new feature needs an new ID or OL Fails with ↵
13     // https://openlayers.org/en/v6.3.1/doc/errors/#30
14     feature.setId(new Date().getTime());
15     featureService.addFiliale(feature);
16     this.deactivateAddFiliale();
17   });
18   this.baseMapService.addInteraction(this.drawInteraction);
19 }
```

In der Initialisierung der Interaktion wird festgelegt, dass nur Punkte erstellt werden können. Über einen *NEW\_STORE\_INTERACTION\_STYLE* wird dem Punkt dann ein eigener Style zugewiesen (ersichtlich in Abbildung 4.1). Ebenso wird ein temporärer Layer für die neu gesetzte Filiale für die Dauer der Interaktion definiert. Da auf der neuen Filiale die Attribute Parkplätze und Verkaufsfläche sowie die Attraktivität noch nicht gesetzt wurden, ist es einfacher für die Interaktionsdauer einen temporären Layer zu verwenden, der nach Interaktionsende das erstellte Feature an den Feature-Service übergibt, wo die fehlenden Attribute gesetzt werden und das Feature in den Filiallayer übertragen wird. Sobald die Interaktion der Karte hinzugefügt wurde, muss lediglich bei Aktivierung der temporäre Layer der Karte hinzugefügt werden, damit die Interaktion sichtbar ist. Ebenso

müssen andere Interaktionen, vor allem die Feature-Selektierung der Filialen und Gebiete (Implementierung erfolgt im späteren Verlauf des Kapitels), deaktiviert werden, damit es hier nicht zu ungewollten, parallelen Interaktionsaufrufen kommt. Sobald eine neue Filiale gesetzt wurde, muss der Layer wieder entfernt, die Interaktion deaktiviert und andere Interaktionen reaktiviert werden. Aktiviert wird die Interaktion über den entsprechenden Knopf auf der Karte (Icon: *add\_icon*, siehe Abbildung 4.1).

Für die Platzierung im DOM werden beide Werkzeuge in einer Werkzeug-Set Komponente zusammengefasst, die ein einheitliches Styling erlaubt.

Als nächstes muss das Objektfenster, welches bei Selektion eines Features geöffnet werden soll und wichtige Informationen über die Filiale oder das Gebiet enthält, implementiert und in den DOM gesetzt werden.

Das Objektfenster ist ein Fenster welches sich wie schon der Layermanager über die Karte legt und Informationen über ein ausgewähltes Feature bietet. Selektiert können sowohl Filialen als auch Zensusgebiete werden. Im Falle einer Filiale soll das Objektfenster auch die Berechnung des Huff-Modells für diese Filiale ermöglichen.

Über einen Objektfenster-Service wird das momentan ausgewählte Feature in Form eines *Observables*<sup>17</sup> bereitgestellt und ist jederzeit abrufbar. In Angular erfolgt dieser Aufruf über eine gesetzte *Subscription*<sup>18</sup> auf ein Observable. In einer Angular Anwendung werden Komponenten über mehrere Lifecycle-Zyklen instanziiert, die eine besondere Datenübertragung innerhalb der Anwendung erfordern. So erfolgt ein initiales Rendering des Templates und der Daten und Änderungen werden über eine *ChangeDetection* erkannt und neu gerendert. Um Fehler während des ChangeDetection-Lifecycles zu verhindern, erfolgt die Datenübertragung mit *Observables*<sup>19</sup>.

Im Fall des Objektfensters subscribes die Komponente sich auf das *currentlySelectedFeature\$* des Objektfenster-Services. Dies bedeutet die Komponente erhält über ein Event direkt die neuesten Änderungen, sobald sich das Observable ändert. Es erfolgt also kein expliziter, synchroner Datenaufruf, sondern das Observable sendet asynchron Änderungen an alle Subscriber. Somit kann die Selektierung eines neuen Features problemlos an das Objektfenster weitergeleitet werden und die neuen Daten werden korrekt dargestellt.

Das Objektfenster für Filialen zeigt die folgenden Informationen:

---

<sup>17</sup>Lesh u. a. 2021a.

<sup>18</sup>Lesh u. a. 2021b.

<sup>19</sup>Google 2021a.

- ID
- Parkplätze
- Verkaufsfläche in Quadratmetern
- Marktanteil in Euro <sup>20</sup>
- Marktanteil in Prozent <sup>20</sup>

Für ein Gebiet werden folgende Informationen angezeigt:

- ID
- Einwohner
- Kaufkraft in Euro (Durchschnitt pro Monat pro Person)
- Ausgaben für Lebensmittel (Durchschnitt pro Monat pro Haushalt)
- Wahrscheinlichkeitsfaktor (für den Besuch einer Filiale) <sup>20</sup>
- Marktanteil der Filiale im Gebiet in Euro <sup>20</sup>
- Marktanteil der Filiale im Gebiet in Prozent <sup>20</sup>

Die Informationen zu Parkplätzen und Verkaufsfläche werden über ein Input-Feld dargestellt (siehe Abbildung 4.2). Diese Parameter werden für die Attraktivitätsberechnung der Filiale verwendet und müssen für neue Filialen eingegeben werden. Bei bestehenden Filialen lässt sich somit aber auch die Berechnung des Huff-Modells für die gleiche Filiale mit verschiedenen Parametern ermöglichen.

---

<sup>20</sup>Nach Berechnung des Huff-Modells





Abbildung 4.2: Bildschirmausschnitt des Objektfensters einer Filiale

Das Objektfenster öffnet sich automatisch nach dem Anlegen einer neuen Filiale. Hierbei werden die Parkplätze und Verkaufsfläche zunächst mit jeweils dem Wert Null angelegt und angezeigt. Bevor das Huff-Modell berechnet werden kann, müssen valide Werte in beide Felder eingetragen werden, da der Knopf solange deaktiviert ist. Die Aktivierung des Knopfes erfolgt über die einfache Validierung der Werte auf eine positive Zahl.

Der Knopf zur Berechnung des Huff-Modells ruft eine Funktion im Feature-Service auf, die die Berechnung für die ausgewählte Filiale durchführen soll. Über den Schließ-Knopf (Icon: *close*, siehe Abbildung 4.2) wird das Objektfenster geschlossen und der Wert des Observables *currentlySelectedFeature\$* auf *null* gesetzt.

Mit der Implementierung des Objektfensters sind nun sämtliche Komponenten der Anwendung bereit, die für Berechnung des Huff-Modells und anschließenden farbliche Einfärbung der Zensusgebiete erforderlich sind.

Die Berechnung des Huff-Modells erfolgt im Feature Service. Die für das Huff-Modell erforderliche Parameter Attraktivität  $A$  und Faktor der Attraktivität  $\alpha$ , sowie Distanz  $D$  und Faktor der Distanzfunktion  $\beta$  müssen bestimmt werden. Wie bereits im Abschnitt zum Gravitationsmodell im Kapitel 2.2 nach Huff erläutert, sind die Faktoren  $\alpha$  und  $\beta$  für die Berechnung im realen Wirtschaftsumfeld empirisch anhand von realen Markt- und Wirtschaftsdaten aus Umfragen mit Kunden zu analysieren und zu bestimmen. Für den Prototypen sind diese Werte auf 1,5 für  $\alpha$  und 1,5 für  $\beta$  festgelegt. Angenommen wird also, dass der Besuch eines Kunden umso wahrscheinlicher ist, je attraktiver die Filiale ist. Ebenso ist der Besuch der Filiale umso wahrscheinlicher, je näher ein Kunde an der Filiale wohnt.

Die Attraktivität  $A$  der Filiale wird über die Summe der Parkplätze und Verkaufsfläche berechnet. Je größer eine Filiale desto größer ist wahrscheinlich das Sortiment und die Menge der Lebensmittel. Und je mehr Parkplätze vor der Filiale vorhanden sind desto mehr Kunden können angezogen werden, die einen weiteren Anreiseweg haben oder mehr auf einmal einkaufen wollen. Für die Berechnung der Attraktivität sind viele weitere Parameter denkbar, jedoch bieten die Anzahl der Parkplätze und die Verkaufsfläche in Quadratmetern aus den aufgeführten Gründen eine fundierte Grundlage für die Bewertung der Attraktivität.

Die Distanz  $D$  der Filiale zu den Gebieten ist eine einfache Distanzberechnung in OpenLayers vom Standort der Filiale zum Mittelpunkt des jeweiligen Gebiets. Zunächst werden aus den Features der Gebiete über *Type Assertion* Multipolygone über die OpenLayers interne Funktionen zur Mittelpunktbestimmung bieten. Da Multipolygone mehrere Mittelpunkte haben, wird der erste Eintrag aus dem Array gewählt.

OpenLayers bietet für die Längen- und Größenberechnung verschiedene Funktionen, die sich in der Berechnung unter Einbezug der Projektion unterscheiden<sup>21</sup>. Die Koordinaten der Filiale und des Mittelpunkts des Gebiets werden zu einem *LineString* Objekt zusammengefasst<sup>22</sup>. Von dieser Linie wird nun die Länge berechnet. Wird die einfache Berechnung *LineString.getLength()* verwendet, berechnet OpenLayers die Länge anhand von Orthodromen<sup>23</sup> oder der Großkreisdistanz<sup>24</sup>. Wenn auch hervorragend für Flugdistanzen verwendbar, lässt diese Berechnung die Ergebnisse für Entfernungen auf dem Boden ungenau werden.

Über das *Sphere* Paket von OpenLayers lässt sich aber eine Länge anhand der Projektion der Karte berechnen, welches zu den gewünschten Ergebnissen führt<sup>25</sup>.

#### Codeauszug 4.13: Huff-Modell Variablen und Parameter

```
1
2 // distance decay
3 const DIST_DECAY = 1.5;
4 // attractiveness enhancement factor
5 const ATT_ENHANCE_FACTOR = 1.5;
```

---

<sup>21</sup>OpenLayers 2021a.

<sup>22</sup>OpenLayers 2021b.

<sup>23</sup>Frassek 2021.

<sup>24</sup>Rodrigue 2020.

<sup>25</sup>OpenLayers 2021d.

```
6
7   const centerCoordinates = (gebietFeature.getGeometry() as ↵
      MultiPolygon).getInteriorPoints().getFirstCoordinate();
8
9   const distance = ol_sphere.getLength(new LineString([filialCoordinates, ↵
      centerCoordinates]), {projection: 'EPSG:3857'});
10
11  const attractiveness = filiale.parkingSpaces + filiale.salesArea;
```

Über den Knopf *Berechne Huff-Modell* (Icon: *miscellaneous\_services*, siehe Abbildung 4.2) im Objektfenster der ausgewählten Filiale wird die ID der Filiale an den Feature Service übergeben und die Berechnung gestartet. Über die ID wird das Feature der entsprechenden Filiale im Filiallayer identifiziert und kann bearbeitet werden.

Die Wahrscheinlichkeit des Besuchs eines Gebiets für die ausgewählte Filiale innerhalb des gesamten Filialnetzes ergibt sich, wenn die Wahrscheinlichkeit der ausgewählten Filiale ins Verhältnis zur Netzwahrscheinlichkeit gesetzt wird. Für die Filiale errechnet sich die Wahrscheinlichkeit des Besuchs der einzelnen Gebiete daher anhand von zwei *ForEach* Schleifen. Zunächst wird über alle Gebiete iteriert, um die Wahrscheinlichkeit sämtlicher Gebiete für die ausgewählte Filiale zu berechnen. In der Schleife der Gebiete muss für jedes Gebiet über die Filialen iteriert werden, um die Menge der Wahrscheinlichkeiten aller Filialen zu dem Gebiet zu berechnen.

#### Codeauszug 4.14: Berechnung des Huff-Modells

```
1
2  zensusgebiete.forEach(gebiet => {
3    // probability for all stores
4    let netProbability = 0;
5
6    // probability for the selected store alone
7    const storeProbability = Math.pow(filiale.attractiveness, ↵
      this.ATT_ENHANCE_FACTOR) / Math.pow(distance, this.DIST_DECAY);
8
9    filialen.forEach(store => {
10     netProbability += Math.pow(store.attractiveness, ↵
      this.ATT_ENHANCE_FACTOR) / ↵
```

```
Math.pow(this.calculateDistancesForFiliale(store.coordinates, ↵
    gebiet.coordinates), this.DIST_DECAY);
11  });
12
13  // probability inside net of stores
14  gebiet.probability = storeProbability / netProbability;
15
16  // marketshare
17  gebiet.marketShare = gebiet.spendituteGroc * gebiet.probability;
18  gebiet.marketSharePercentage = gebiet.marketShare / ↵
    gebiet.spendituteGroc;
19  });
```

Nachdem jedes Gebiet Besuchswahrscheinlichkeiten ausgerechnet bekommen hat, wird der Marktanteil prozentual sowie monetär für ein besseres Verständnis sowie eine bessere Einordnung errechnet. Hierzu werden die Ausgaben des Gebiets für Lebensmittel im Monat mit der Wahrscheinlichkeit des Besuchs multipliziert, um den Anteil der Lebensmittelausgaben des Gebiets in Euro für die ausgewählte Filiale zu errechnen. Wird dieser Betrag nun ins Verhältnis zu den Gesamtausgaben für Lebensmittel im Gebiet gesetzt, errechnet sich der prozentuale Anteil. Erfolgt diese Schritte für alle Gebiete und werden die Beträge des Anteils der Ausgaben der Filiale und der Gesamtausgaben pro Gebiet summiert, ergibt sich der Marktanteil der Filiale im Netz in Euro und, im Verhältnis zu einander, in Prozent.

#### Codeauszug 4.15: Marktanteil Berechnung

```
1
2  let marketShareTotal = 0;
3  let totalMarketExpenditure = 0;
4  this._zensusMap.forEach((gebiet: ZensusProperties) => {
5      marketShareTotal += gebiet.marketShare;
6      totalMarketExpenditure += gebiet.spendituteGroc;
7  });
8  filiale.marketShare = marketShareTotal;
9  filiale.marketSharePercentage = marketShareTotal / totalMarketExpenditure;
```

Bei jeder Berechnung der Wahrscheinlichkeit des Besuchs der Gebiete für die ausgewählte Filiale wird final noch das Gebiet eingefärbt. Hierzu wird auf jedem Feature abhängig der errechneten Wahrscheinlichkeit ein Indikator gesetzt, der einer bestimmten Farbe entspricht.

Codeauszug 4.16: Setzen des Einfärbeindikators

```
1
2  const probabilityInPercent = gebiet.probability * 100;
3
4  if (probabilityInPercent > 80) {
5      gebiet.indicator = 1;
6  }
7  else if (probabilityInPercent < 80 && probabilityInPercent > 70) {
8      gebiet.indicator = 2;
9  }
10
11  ...
12
13  else {
14      gebiet.indicator = 9;
15  }
```

Dieser Indikator wird im Renderzyklus der Gebiete innerhalb der *StyleFunction* pro Gebiet ausgelesen und das Gebiet entsprechend eingefärbt (ähnlich zur StyleFunction der Filialen 4.9).

Codeauszug 4.17: Einfärben der Gebiete

```
1
2  protected readonly colorGradient: ColorInterface[] = [
3      { gravitationalRing: 1, value: 'rgb(255, 0, 0)' },
4      { gravitationalRing: 2, value: 'rgb(255, 70, 0)' },
5      { gravitationalRing: 3, value: 'rgb(255, 105, 0)' },
6      { gravitationalRing: 4, value: 'rgb(255, 134, 0)' },
7      { gravitationalRing: 5, value: 'rgb(255, 160, 0)' },
8      { gravitationalRing: 6, value: 'rgb(246, 185, 0)' },
9      { gravitationalRing: 7, value: 'rgb(241, 206, 31)' },
```

```
10     { gravitationalRing: 8, value: 'rgb(236, 227, 66)' },
11     { gravitationalRing: 9, value: 'rgb(231, 247, 98)' }
12 ];
13
14 const gebieteStyle = new Style({
15   stroke: new Stroke({
16     color: 'white',
17     width: 2,
18     lineDash: [0.1, 7]
19   }),
20   fill: new Fill({
21     color: 'rgba(52, 164, 235, 0.5)'
22   })
23 });
24
25 const gebieteStyleFunction = (feature, resolution) => {
26   const indicator = feature.indicator;
27
28   if (!indicator) {
29     return this.ezbLineStyle;
30   }
31   const color = colorGradient.find(color => color.gravitationalRing === ←
32     indicator).value;
33   gebieteStyle.setFill().setColor(color);
34   return gebieteStyle;
35 }
```

Für die Farben der einzelnen Gravitationsringe wurde ein Farbgradient von Rot zu Gelb gewählt. Besonders hohe Besuchswahrscheinlichkeiten werden mit einer Farbe aus dem roten Spektrum des Gradienten dargestellt und mit abnehmender Wahrscheinlichkeit wird das Gebiet zunehmend gelber. Das berechnete Modell kann in der Abbildung 4.3 begutachtet werden.

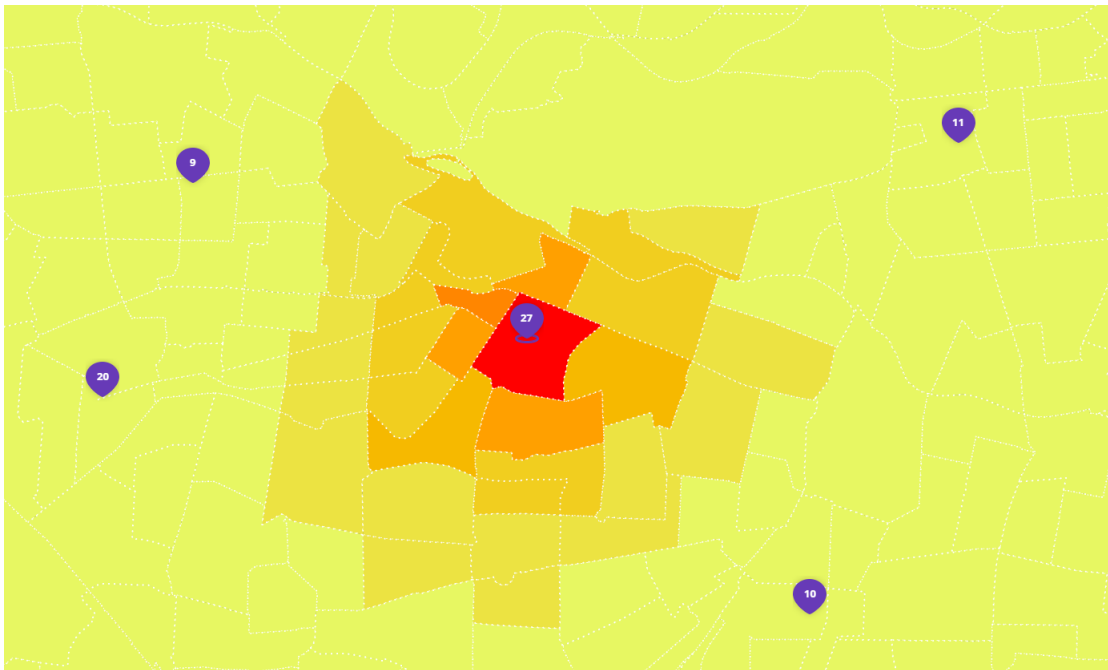


Abbildung 4.3: Bildschirmausschnitt des Prototypen nach der Berechnung des Huff-Modells für Filiale 27

# Kapitel 5

## Auswertung

Im letzten Teil dieser Arbeit wird das Huff-Modell und dessen Umsetzung im Prototypen ausgewertet.

Was sind die Anwendungsfälle des Huff-Modells? Wozu kann der Prototyp verwendet werden? Ist der Prototyp performant? Ist das Huff-Modell eine gute Wahl für einen Algorithmus der Filialplanung und Standortanalyse? Wo stößt das Modell an seine Grenzen? Was kann verbessert, erweitert oder ersetzt werden?

Unter anderem diesen Fragen wird mit Ausblick auf die Zukunft kritisch Antwort gegeben bevor ein finales Fazit gezogen wird.

### 5.1 Bewertung

Bei der Bewertung des Prototypen muss einerseits die Umsetzung des Huff-Modells in einer Webkarte mit modernen Technologien und andererseits das Modell selber bewertet werden. Hierzu werden zunächst Anwendungsfälle des Modells beschrieben, die Verwendung des Prototypen unter Einbeziehung der Performance für diese erklärt und Verbesserungen und Erweiterungen vorgestellt. Danach wird das Modell selber in Frage gestellt und mögliche Alternativen oder Erweiterungen vorgestellt.

Obwohl das Huff-Modell kein neues Phänomen und schon mehrere Jahrzehnte alt ist, hat es sich als verlässlich erwiesen und findet nach wie vor Gebrauch. Die liegt vor allem an der einfachen und schnellen Verwendung. Bereits mit wenig Informationen können simple



Prognosen zu Besucherwahrscheinlichkeit erstellt werden.

Zu den Hauptanwendungsfällen zählen:

- Filialplanung
- Expansionsplanung
- Verteilgebietsplanung
- Kundenansprache

Die Filialplanung und Expansionsplanung sowie die Verteilgebietsplanung und die Kundenansprache sind ähnlich zu betrachten, da sie sich nur geringfügig unterscheiden.

Der Prototyp kann alle aufgelisteten Fälle grundlegend abdecken, könnte aber bei gezielten Erweiterungen eine noch bessere Unterstützung für die spezifischen Anforderungen bieten. So lassen sich Besuchswahrscheinlichkeiten in bestehendem Netz sowie mit neuen Filialen berechnen und vergleichen. Potenzielle neue Standorte können dem bestehenden Netz hinzugefügt werden und deren Auswirkung auf Wahrscheinlichkeiten und Umsatz werden direkt visuell und numerisch sichtbar, was bei direktem Vergleich die Erstellung einer Reihenfolge anhand von Umsatzgewinn oder -verlust und Marktanteil der potenziellen neuen Standorte erlaubt.

Ebenso kann sehr leicht ein Verteilgebiet für Handzettel (Werbung) abgegrenzt werden, dass sich auch wirklich nur an Kunden richtet, die wahrscheinlich in der Filiale einkaufen würden. Außerdem sind aus den Gebieten des Verteilgebiets erste Informationen zu Kaufkraft, Einwohneranzahl und Ausgaben ersichtlich, was eine persönlichere Ansprache der Kunden zulässt, die auf demografischen Analysen beruht.

Eine sinnvolle Erweiterung für die Verteilgebietserstellung wäre die Gruppierung mehrerer Gebiete zu einem neuen Verteilgebiet in einem neuen Layer. Das neue Gebiet könnte dann eine eigene Farbe erhalten und nach Bedarf ein- und ausgeblendet werden oder in der Z-Ebene nach oben oder unten verschoben werden. Für das neue Gebiet können dann die Daten der eingeschlossenen Gebiete summiert werden und für das potenzielle Verteilgebiet angezeigt werden.

Die Berechnung des Modells ist bereits angemessen performant mit initialer Lade- und Renderzeit von unter 1 Sekunde für die Gebiete und Filialen sowie Berechnungs- und

Rerenderzeit der Gebiete von ebenfalls unter 1 Sekunde. Durch Optimierung beim Laden und Rendern durch zum Beispiel explizite Nutzung von Cache-Objekten für Features und Styles oder Überarbeitung des Codes für die Berechnung des Modells könnte hier eventuell noch eine bessere Performance erzielt werden

Der Prototyp kann das Huff-Modell sehr gut darstellen und bietet echten Mehrwert in Prozessen des Geomarketings. Dennoch hat das Modell auch einige Schwächen oder Ungenauigkeiten, wie unter anderem bereits im Artikel „Application of network Huff model for commercial network planning at suburban – Taking Wujin district, Changzhou as a case“, von Haozhi Pan, Yongfu Li und Anrong Dang beschrieben<sup>1</sup>. Die Autoren bezeichnen vor allem die Bestimmung der Parameter  $\alpha$  und  $\beta$  sowie die Berechnung der Distanzvariable  $D$  als problematisch. Während es für die Bestimmung der Parameter meist an regionalen Marktdaten mangelt oder eine Regressionsanalyse mit Linearisierung oder Ähnliche nur schwer durchzuführen ist, gibt es schlicht mehrere Möglichkeiten die Distanz zwischen Filiale und Kunde zu berechnen. Die Distanz kann euklidisch dargestellt werden oder über die Netzwerkdistanz oder -zeit (Fahrzeitzone in Meter oder Minuten), wobei alle drei zu verschiedenen Ergebnissen des Modell führen.

Des Weiteren benutzt das Huff-Modell nur genau zwei Variablen ( $A$  und  $D$ ), die über die Kundenentscheidung des Besuchs entscheiden sollen. Aufgrund dieser Einschränkung und den bereits aufgeführten Problemen in Bezug auf die Bestimmung der Parameter  $\alpha$  und  $\beta$  war das Huff-Modell im Laufe der Jahre bereits mehrfach Kern wissenschaftlicher Arbeiten, die sich mit der Validierung und Verbesserung des Modells beschäftigten.

Daraus entstand 1974 das (erste <sup>2</sup>) Multiplicative Competitive Interaction Modell (kurz MCI-Modell) entwickelt von Masao Nakanishi und Lee Cooper, welches genau diese Probleme behandeln sollte und eine Bestimmung der Parameter über mathematische Verfahren wie zum Beispiel die (gewöhnliche) Methode der kleinsten Quadrate ermöglichte<sup>3</sup>. Weitere wissenschaftliche Modelle sind das Multiple Store Location Model von Dale Achabal<sup>4</sup> oder ein verallgemeinertes Huff-Modell von Daniel Griffith<sup>5</sup>. Die Attraktivität einer Filiale hängt von deutlich mehr Faktoren als nur der Größe und Anzahl der Parkplätze ab. Markenstärke, Sortiment und Preise beeinflussen ebenfalls in die Entscheidung des Kunden,

---

<sup>1</sup>Pan, Li und Dang 2013.

<sup>2</sup>Es folgten weitere Erweiterungen auf Basis von MCI

<sup>3</sup>Nakanishi und Cooper 1974.

<sup>4</sup>Achabal, Mahajan und Schilling 1984.

<sup>5</sup>Griffith 1982.

um nur ein paar weitere Faktoren zu nennen. Um diese Faktoren in die Berechnung mit einfließen zu lassen und eine lineare Formel für die Berechnung zu erhalten, verwendet das MCI-Modell folgende Erweiterung der Huff-Modell-Formel:

$$P_{ij} = \left( \prod_{h=1}^H A_{hj}^{\gamma_h} \right) D_{ij}^{\lambda} / \sum_{j=1}^n \left( \prod_{h=1}^H A_{hj}^{\gamma_h} \right) D_{ij}^{\lambda} \quad (5.1)$$

Dabei gilt:

- $P_{ij}$  = die Wahrscheinlichkeit, mit der Kunde j in Filiale i einkauft;
- $A_{hj}$  = ein Maß der h Eigenschaften ( $h = 1, 2, \dots, H$ ), die die Attraktivität der Filiale j angeben;
- $\gamma$  = ein Parameter der Sensibilität von  $P_{ij}$  in Verbindung mit einer Attraktionsvariable h;
- $D_{ij}^{\lambda}$  = ein Maß der Erreichbarkeit der Filiale j für einen Kunden i;
- $\lambda$  = ein Parameter der Sensibilität von  $P_{ij}$  in Verbindung der Erreichbarkeit;
- $n$  = die Anzahl der Filialen.

Huff selber veröffentlichte diese Formel 2008 in einem Artikel, in dem er die Problematiken des ursprünglichen Modells erläutert und auf die Verbesserungen eingeht und eine Kalibrierung des Modells vorstellt<sup>6</sup>.

Ebenso finden sich auch direkt im Prototypen einige Schwächen.

So lassen sich Filialen finden, bei denen die Berechnung zu einem ungenauen Ergebnis führt, wie in Abbildung 5.1 zu sehen. In der Abbildung ist klar zu erkennen, dass das Gebiet in welchem sich die Filiale befindet selbst nicht die höchste Besuchswahrscheinlichkeit hat. Diese Ungenauigkeit lässt sich auf die Berechnung des Mittelpunkts des Gebiets zurückführen. So ist die Filiale näher am Mittelpunkt des Nachbargebiets als am Mittelpunkt des eigenen Gebiets gelegen, was zu einer höheren Besuchswahrscheinlichkeit des Nachbargebiets führt.

Dieses Problem lässt sich relativ einfach mit der Verwendung von kleineren Gebieten eindämmen. Jedoch ist die ideale Lösung mit der Verwendung von Punkten pro Haushalten nicht wirklich umsetzbar, da die Datenmenge um ein Vielfaches größer wäre und die Berechnung zu viel Ressourcen benötigen oder zu lange dauern würde.

---

<sup>6</sup>Huff und McCallum 2008.

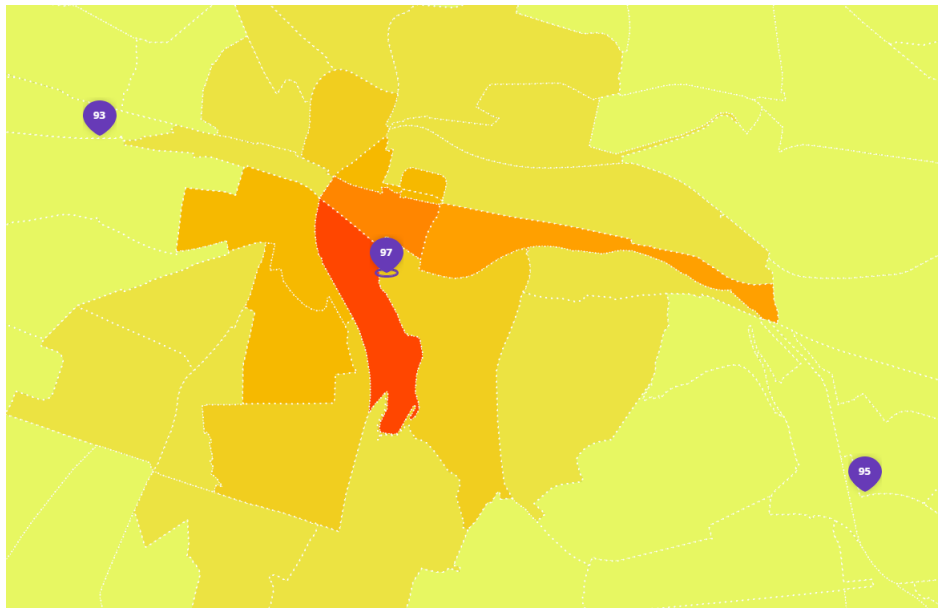


Abbildung 5.1: Bildschirmausschnitt des Prototypen mit ungenauer Berechnung

## 5.2 Fazit/ Ausblick

Das Huff-Modell als Grundlage der algorithmischen Berechnung in dem Prozess einer Filialplanung erweist sich als einfach zu verstehendes, schnelles und nützliches Werkzeug, um mit relativ wenig Marktdaten bereits eindeutige und aussagekräftige Informationen über mögliche neue Standorte einer Filiale zu erhalten.

Im Prototypen wurden die verfügbaren Marktdaten um lediglich ein paar wenige Attribute ergänzt, um eine realistische Abbildung eines Filialnetzes innerhalb Berlins zu generieren. Um die Berechnung komplexer und somit hoffentlich genauer erfolgen zu lassen, ist eine Erweiterung des Huff-Modells wie in 5.1 beschrieben denkbar. Die Parameter der Berechnung sollten sich dann einfach fast beliebig erweitern lassen, so können in die Berechnung der Attraktivität deutlich mehr Attribute einer Filiale oder des Umfelds einfließen. Denkbar sind zum Beispiel die Ergänzung von Informationen über umliegende Sehenswürdigkeiten (engl. Point of interest), die Eingliederung der Filiale in ein Einkaufszentrum, Markenstärke einer Filialkette oder tatsächliches Sortiment. Sie alle nehmen Einfluss auf die Attraktivität einer Filiale.

Ebenso kann die Berechnung der Distanz auf komplexeren Grundlagen wie zum Beispiel

der Fahrzeit mit dem Auto, den öffentlichen Verkehrsmitteln oder dem Fahrrad basieren. Auf die Notwendigkeit der Bestimmung der Parameter  $\alpha$  und  $\beta$  wurde bereits im Kapitel 4 „Implementierung“ eingegangen. Kundenbefragungen, amtliche Statistiken oder Meinungsbilder können hier als Grundlage dienen, um die Parameter zu bestimmen.

Für die Anwendung in echten Szenarien der freien Wirtschaft sollte also unbedingt eine verfeinerte Kalibrierung der Berechnung anhand eigener Daten erfolgen, damit der Prototyp mit vollem Potenzial verwendet werden kann.

Außerdem wäre eine Erweiterung hinsichtlich direkter Gegenüberstellung der potenziellen Standorte in Form einer Tabelle oder Ähnlichem denkbar. Im Prototyp lassen sich zwar beliebig viele neue Filialen setzen, jedoch gibt es keine Möglichkeit die gesetzten Filialen und deren Einfluss auf Wahrscheinlichkeiten und Marktanteil zu vergleichen.

Die Darstellung der Gravitationsebenen erfolgt im Prototypen über die Einfärbung der Gebiete. Eine detaillierte Darstellung direkt über Isolinien der Wahrscheinlichkeit wäre unter Verwendung einer Geometriefunktion und Stylefunktion möglich. So müssten aus den Isolinien neue Polygone erstellt werden und diese anhand der Ebene entsprechend eingefärbt werden.

Als Komponente eines größeren, komplexeren GIS würde der Prototyp einzigartige, ergänzende Features bieten, die die Prozesse innerhalb der Standortanalyse und Filialplanung deutlich vereinfachen. Obwohl das Huff-Modell im Laufe der Jahre oft erweitert wurde, führt es in seiner Grundfunktion bereits zu aussagekräftigen Ergebnissen. Sicherlich können diese Ergebnisse über erwähnte Erweiterungen verbessert und verfeinert werden, jedoch steigt damit auch die Komplexität des Modells und schränkt im Zweifel die allgemeine Anwendung auf spezielle Anwendungsfälle ein.

Somit bleibt festzuhalten: Durch niedrige Komplexität, vielfältige Anwendungsbereiche und eine schnelle, simple Umsetzung bietet sich das Huff-Modell gut für die Anwendung im Prozess der Standortanalyse und Filialplanung an.

# Abbildungsverzeichnis

2.1	Eigene Darstellung Standortfaktoren . . . . .	7
2.2	Bildschirmaufnahme der Transformation von EPSG 4326 zu EPSG 3857 von epsg.io <sup>7</sup> . . . . .	12
2.3	Eigene Abbildung des Technologie Stacks der Anwendung . . . . .	13
3.1	Komponentendiagramm der Anwendung in eigener Darstellung . . . . .	19
4.1	Bildschirmausschnitt der UI-Elemente . . . . .	31
4.2	Bildschirmausschnitt des Objektfensters einer Filiale . . . . .	36
4.3	Bildschirmausschnitt des Prototypen nach der Berechnung des Huff-Modells für Filiale 27 . . . . .	42
5.1	Bildschirmausschnitt des Prototypen mit ungenauer Berechnung . . . . .	47
A.1	Architekturbild . . . . .	I
A.2	Komponentendiagramm . . . . .	J

---

<sup>7</sup>*Transform coordinates - GPS online convertor* 2019.

# Quelltextverzeichnis

4.1	Erstellen eines neuen Projektes . . . . .	22
4.2	Hinzufügen des OpenLayers Pakets . . . . .	22
4.3	Angular schematic Befehl zum Erstellen . . . . .	23
4.4	Erstellen der Objektfensterkomponente . . . . .	23
4.5	Starten der Anwendung . . . . .	23
4.6	Erstellung der Karte . . . . .	24
4.7	Erstellung der Hintergrundkarte . . . . .	25
4.8	Erstellung der Filial- und Gebietelayer . . . . .	26
4.9	Erstellen des Filialstyles . . . . .	27
4.10	Laden der GeoJSON-Dateien der Filialen und Gebiete . . . . .	28
4.11	Layermanager . . . . .	32
4.12	Draw-Interaktion . . . . .	33
4.13	Huff-Modell Variablen und Parameter . . . . .	37
4.14	Berechnung des Huff-Modells . . . . .	38
4.15	Martkanteil Berechnung . . . . .	39
4.16	Setzen des Einfärbeindikators . . . . .	40
4.17	Einfärben der Gebiete . . . . .	40

# Literaturverzeichnis

- Achabal, Dale D, Vijay Mahajan und David A Schilling (1984). „Slop: A Strategic Multiple Store Location Model for a Dynamic Environment“. en. In: S. 36.
- Bundesamt, Statistisches (2020). *Konsumausgaben privater Haushalte in Deutschland*. de. URL: <https://www.destatis.de/DE/Themen/Gesellschaft-Umwelt/Einkommen-Konsum-Lebensbedingungen/Konsumausgaben-Lebenshaltungskosten/Tabellen/privater-konsum-d-lwr.html> (besucht am 22.01.2021).
- Converse, P. D. (1949). „New Laws of Retail Gravitation“. In: *Journal of Marketing* 14.3. \_eprint: <https://doi.org/10.1177/002224295001400303>, S. 379–384. DOI: 10.1177/002224295001400303. URL: <https://doi.org/10.1177/002224295001400303>.
- Frassek, Dr. Bernd (2021). *Orthodrome (Großkreis) und Loxodrome*. de-DE. URL: <https://www.frassek.org/3d-mathe/orthodrome-gro%C3%9Fkreis-und-loxodrome/> (besucht am 22.02.2021).
- Funktionsweise des Huff-Modells—ArcGISPro | Dokumentation* (2021). URL: <https://pro.arcgis.com/de/pro-app/latest/tool-reference/business-analyst/understanding-huff-model.htm> (besucht am 01.03.2021).
- Geodaten - Geoportal* (2020). URL: <https://www.geoportal.rlp.de/mediawiki/index.php/Geodaten> (besucht am 03.03.2021).
- GfK Kaufkraft je Einwohner nach Bundesländern 2021* (2021). de. URL: <https://de.statista.com/statistik/daten/studie/168591/umfrage/kaufkraft-nach-bundeslaendern/> (besucht am 22.01.2021).
- GIS-Standards* (2018). de. URL: <https://www.gistandards.eu/de/gis-standards/> (besucht am 11.02.2021).
- Google (2021a). *Angular - Hooking into the component lifecycle*. Version 10.1.6. URL: <https://angular.io/guide/lifecycle-hooks> (besucht am 19.02.2021).
- (2021b). *Angular CLI*. Version 10.1.7. URL: <https://cli.angular.io/> (besucht am 12.02.2021).



- Google (2021c). *Angular Material*. en-US. Version 10.2.5. URL: <https://material.angular.io/> (besucht am 19.02.2021).
- (2021d). *Angular Material Button*. en-US. Version 10.2.5. URL: <https://material.angular.io/components/button/overview> (besucht am 19.02.2021).
  - (2021e). *Angular Material Card*. en-US. Version 10.2.5. URL: <https://material.angular.io/components/card/overview> (besucht am 19.02.2021).
  - (2021f). *Angular Material Checkbox*. en-US. Version 10.2.5. URL: <https://material.angular.io/components/checkbox/overview> (besucht am 19.02.2021).
  - (2021g). *Angular Material Icon*. en-US. Version 10.2.5. URL: <https://material.angular.io/components/icon/overview> (besucht am 19.02.2021).
  - (2021h). *Angular Material Input*. en-US. Version 10.2.5. URL: <https://material.angular.io/components/input/overview> (besucht am 19.02.2021).
  - (2021i). *Angular Material List*. en-US. Version 10.2.5. URL: <https://material.angular.io/components/list/overview> (besucht am 19.02.2021).
- Griffith, Daniel A. (1982). „A Generalized Huff Model“. en. In: *Geographical Analysis* 14.2. \_eprint: <https://onlinelibrary.wiley.com/doi/pdf/10.1111/j.1538-4632.1982.tb00062.x>, S. 135–144. ISSN: 1538-4632. DOI: <https://doi.org/10.1111/j.1538-4632.1982.tb00062.x>. URL: <https://onlinelibrary.wiley.com/doi/abs/10.1111/j.1538-4632.1982.tb00062.x> (besucht am 01.03.2021).
- Gross, Michaela (Dez. 2019). *Standortanalyse - Erklärungen & Beispiele*. de-DE. URL: <https://www.unternehmerlexikon.de/standortanalyse/> (besucht am 03.03.2021).
- Haas, Prof Dr Hans-Dieter, Dr. Simon-Martin Neumair und Prof. Dr. Kai-Ingo Voigt (2009). *Definition: Standortfaktoren*. de. Publisher: Springer Fachmedien Wiesbaden GmbH Section: economy. URL: <https://wirtschaftslexikon.gabler.de/definition/standortfaktoren-45787/version-133523> (besucht am 11.02.2021).
- Herter, Michael und Karl-Heinz Mühlbauer, Hrsg. (2018). *Handbuch Geomarketing*. ger. 2. Aufl. Wichmann Verlag. ISBN: 978-3-87907-654-3. URL: <https://content-select.com/de/portal/media/view/5c7e7232-1828-4831-bb3c-7986b0dd2d03>.
- Huff, Dr David und Bradley M McCallum (2008). „Calibrating the Huff Model Using ArcGIS Business Analyst“. en. In: S. 33. URL: <https://pro.arcgis.com/de/pro-app/latest/tool-reference/business-analyst/understanding-huff-model.htm> (besucht am 01.03.2021).

- ISO Central Secretary (2021). *ISO 19115-1:2014*. en. Techn. Ber. URL: <https://www.iso.org/cms/render/live/en/sites/isoorg/contents/data/standard/05/37/53798.html> (besucht am 03.03.2021).
- Jung, Karl (1956). „Figur der Erde“. In: *Geophysik I / Geophysics I*. Hrsg. von J. Bartels. Berlin, Heidelberg: Springer Berlin Heidelberg, S. 534–639. ISBN: 978-3-642-45855-2. DOI: 10.1007/978-3-642-45855-2\_16. URL: [https://doi.org/10.1007/978-3-642-45855-2\\_16](https://doi.org/10.1007/978-3-642-45855-2_16).
- Konsumausgaben in Deutschland für Nahrungsmittel, Getränke und Tabakwaren bis 2019* (2020). de. Library Catalog: de.statista.com. URL: <https://de.statista.com/statistik/daten/studie/161565/umfrage/konsumausgaben-der-privaten-haushalte-in-deutschland-fuer-nahrungsmittel-zeitreihe/> (besucht am 03.06.2020).
- Lesh, Ben u. a. (2021a). *Observable*. en. Version 6.6.0. URL: <https://rxjs-dev.firebaseio.com/guide/observable> (besucht am 19.02.2021).
- (2021b). *Subscription*. en. Version 6.6.0. URL: <https://rxjs-dev.firebaseio.com/guide/subscription> (besucht am 19.02.2021).
- Lidl - Verkaufsfläche der Discountmärkte in Deutschland | Zeitreihe | Handelsdaten.de | Statistik-Portal zum Handel* (2019). URL: <https://www.handelsdaten.de/lebensmitteldiscounter/durchschnittliche-verkaufsflaeche-der-discountmaerkte-lidl-deutschland> (besucht am 29.01.2021).
- Lovison-Golob, Lucia (Okt. 2002). *Short Biography of a Pioneer*. URL: <https://web.archive.org/web/20051030072118/http://www.gis.dce.harvard.edu/fisher/HTFisher.htm> (besucht am 21.09.2020).
- Marktdaten | Geomarketing* (2021). de-DE. URL: <https://www.geomarketing.de/marktdaten/> (besucht am 12.02.2021).
- Ministeriums für Städtebau und Wohnen, Kultur und Sport (2000). *Anlage zu Nr. 51.11 VV BauO NRW Richtzahlen für den Stellplatzbedarf*. de. URL: [https://recht.nrw.de/lmi/owa/br\\_vbl\\_show\\_pdf?p\\_id=528](https://recht.nrw.de/lmi/owa/br_vbl_show_pdf?p_id=528) (besucht am 29.01.2021).
- Nakanishi, Masao und Lee G. Cooper (1974). „Parameter Estimation for a Multiplicative Competitive Interaction Model—Least Squares Approach“. In: *Journal of Marketing Research* 11.3. \_eprint: <https://doi.org/10.1177/002224377401100309>, S. 303–311. DOI: 10.1177/002224377401100309. URL: <https://doi.org/10.1177/002224377401100309>.
- Neumair, Dr Simon-Martin (Feb. 2018). *Definition: Isolinie*. de. Publisher: Springer Fachmedien Wiesbaden GmbH Section: economy. URL: <https://wirtschaftslexikon.gabler.de/definition/isolinie-39087/version-262505> (besucht am 02.03.2021).

- Neumair, Dr Simon-Martin und Haas Prof Dr Hans-Dieter (2018). *Definition: Geomarketing*. de. Publisher: Springer Fachmedien Wiesbaden GmbH Section: economy. URL: <https://wirtschaftslexikon.gabler.de/definition/geomarketing-32070/version-255618> (besucht am 03.03.2021).
- Neumair, Dr. Simon-Martin und Prof. Dr. Hans-Dieter Haas (2018). *Definition: geografisches Informationssystem (GIS)*. de. Publisher: Springer Fachmedien Wiesbaden GmbH Section: economy. URL: <https://wirtschaftslexikon.gabler.de/definition/geografisches-informationssystem-gis-36424/version-259877> (besucht am 03.03.2021).
- Nielsen (2019). *Lebensmittel-Discounter in Deutschland bis 2018*. de. Library Catalog: de.statista.com. URL: <https://de.statista.com/statistik/daten/studie/459711/umfrage/lebensmittel-discounter-in-deutschland/> (besucht am 03.06.2020).
- OpenLayers (2021a). *Measure example*. Version 6.4.3. URL: <https://openlayers.org/en/latest/examples/measure.html> (besucht am 22.02.2021).
- (2021b). *OpenLayers API - Class: LineString*. Version 6.4.3. URL: [https://openlayers.org/en/latest/apidoc/module-ol\\_geom\\_LineString-LineString.html](https://openlayers.org/en/latest/apidoc/module-ol_geom_LineString-LineString.html) (besucht am 22.02.2021).
- (2021c). *OpenLayers API - Class: Map*. Version 6.4.3. URL: [https://openlayers.org/en/latest/apidoc/module-ol\\_Map-Map.html](https://openlayers.org/en/latest/apidoc/module-ol_Map-Map.html) (besucht am 12.02.2021).
- (2021d). *OpenLayers API - Module: ol/sphere*. Version 6.4.3. URL: [https://openlayers.org/en/latest/apidoc/module-ol\\_sphere.html](https://openlayers.org/en/latest/apidoc/module-ol_sphere.html) (besucht am 22.02.2021).
- Pan, Haozhi, Yongfu Li und Anrong Dang (Sep. 2013). „Application of network Huff model for commercial network planning at suburban – Taking Wujin district, Changzhou as a case“. In: *Annals of GIS* 19.3. Publisher: Taylor & Francis \_eprint: <https://doi.org/10.1080/19475683.2013.806356>, S. 131–141. ISSN: 1947-5683. DOI: 10.1080/19475683.2013.806356. URL: <https://doi.org/10.1080/19475683.2013.806356> (besucht am 26.02.2021).
- Reilly, William J (1931). *The law of retail gravitation*, English. OCLC: 5465898. New York: W.J. Reilly.
- Rodrigue, J.-P. (Mai 2020). *The Geography of Transport Systems*. en. Routledge. ISBN: 978-0-429-34632-3. DOI: 10.4324/9780429346323. URL: <https://www.taylorfrancis.com/books/geography-transport-systems-jean-paul-rodrigue/10.4324/9780429346323> (besucht am 03.03.2021).

- Stadtentwicklung und Wohnen, Senatsverwaltung für (2021). *Geoportal / Land Berlin*. URL: <https://www.stadtentwicklung.berlin.de/geoinformation/> (besucht am 15.02.2021).
- Tomlinson, Roger (2012). *Origins of the Canada Geographic Information System / ArcNews*. URL: <https://www.esri.com/news/arcnews/fall12articles/origins-of-the-canada-geographic-information-system.html> (besucht am 21.09.2020).
- Transform coordinates - GPS online convertor* (2019). en. URL: [http://epsg.io/transform?s\\_srs=4326&t\\_srs=3857&x=13.4513381&y=52.5037069](http://epsg.io/transform?s_srs=4326&t_srs=3857&x=13.4513381&y=52.5037069) (besucht am 12.02.2021).
- Umweltzone, Geoportal Berlin / (2018). *Verkehrszellen - Berlin*. de-de. URL: <https://hub.arcgis.com/datasets/esri-de-content::verkehrszellen-berlin?geometry=13.098,52.471,13.751,52.544> (besucht am 15.02.2021).
- WGS 84 - WGS84 - World Geodetic System 1984, used in GPS - EPSG* (2019). *WGS 84 - WGS84 - World Geodetic System 1984, used in GPS - EPSG:4326*. en. URL: <https://epsg.io/4326> (besucht am 12.02.2021).
- WGS 84 / Pseudo-Mercator - Spherical Mercator, Google Maps, OpenStreetMap, Bing, ArcGIS, ESRI - EPSG* (2019). *WGS 84 / Pseudo-Mercator - Spherical Mercator, Google Maps, OpenStreetMap, Bing, ArcGIS, ESRI - EPSG:3857*. en. URL: <https://epsg.io/3857> (besucht am 12.02.2021).

# Anhang A

## A.1 Diagramm

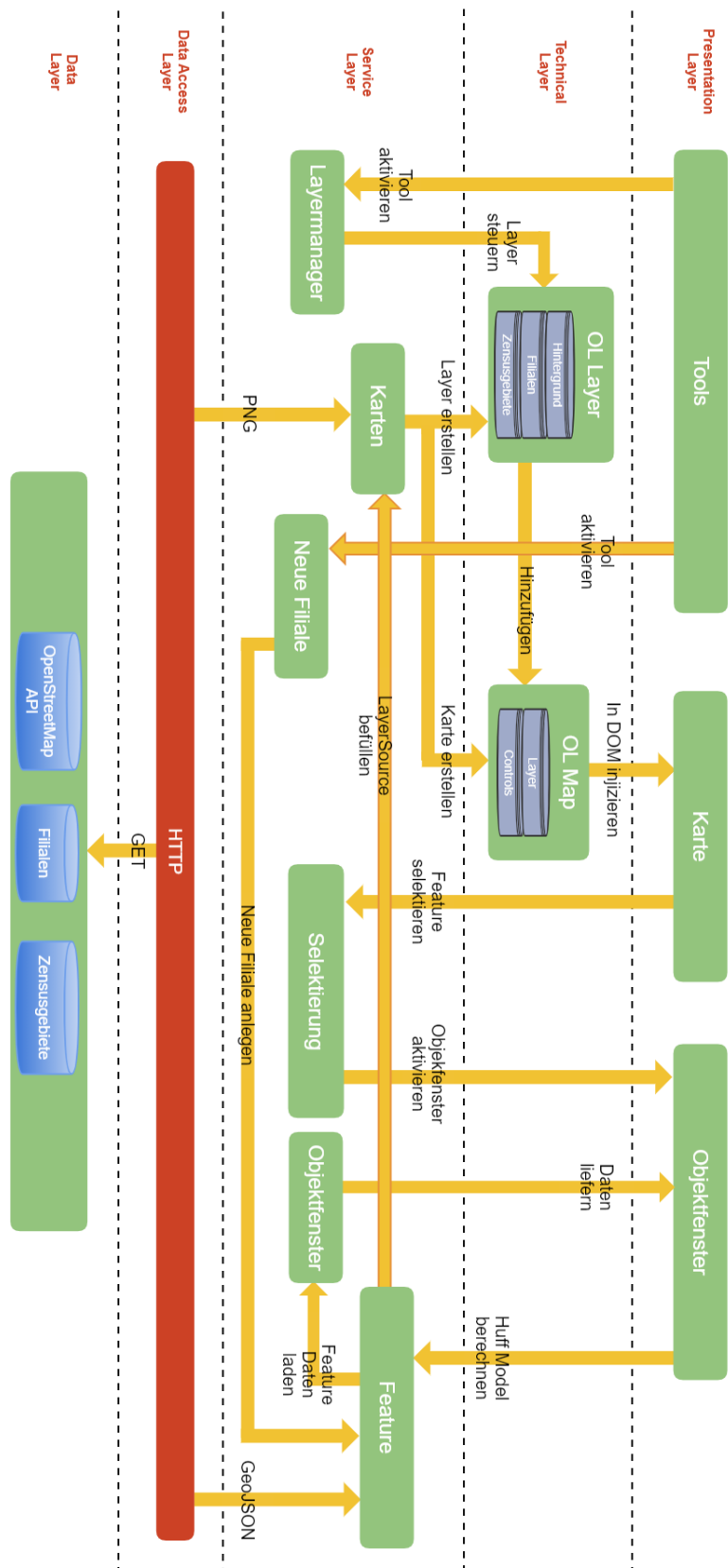


Abbildung A.1: Architekturbild

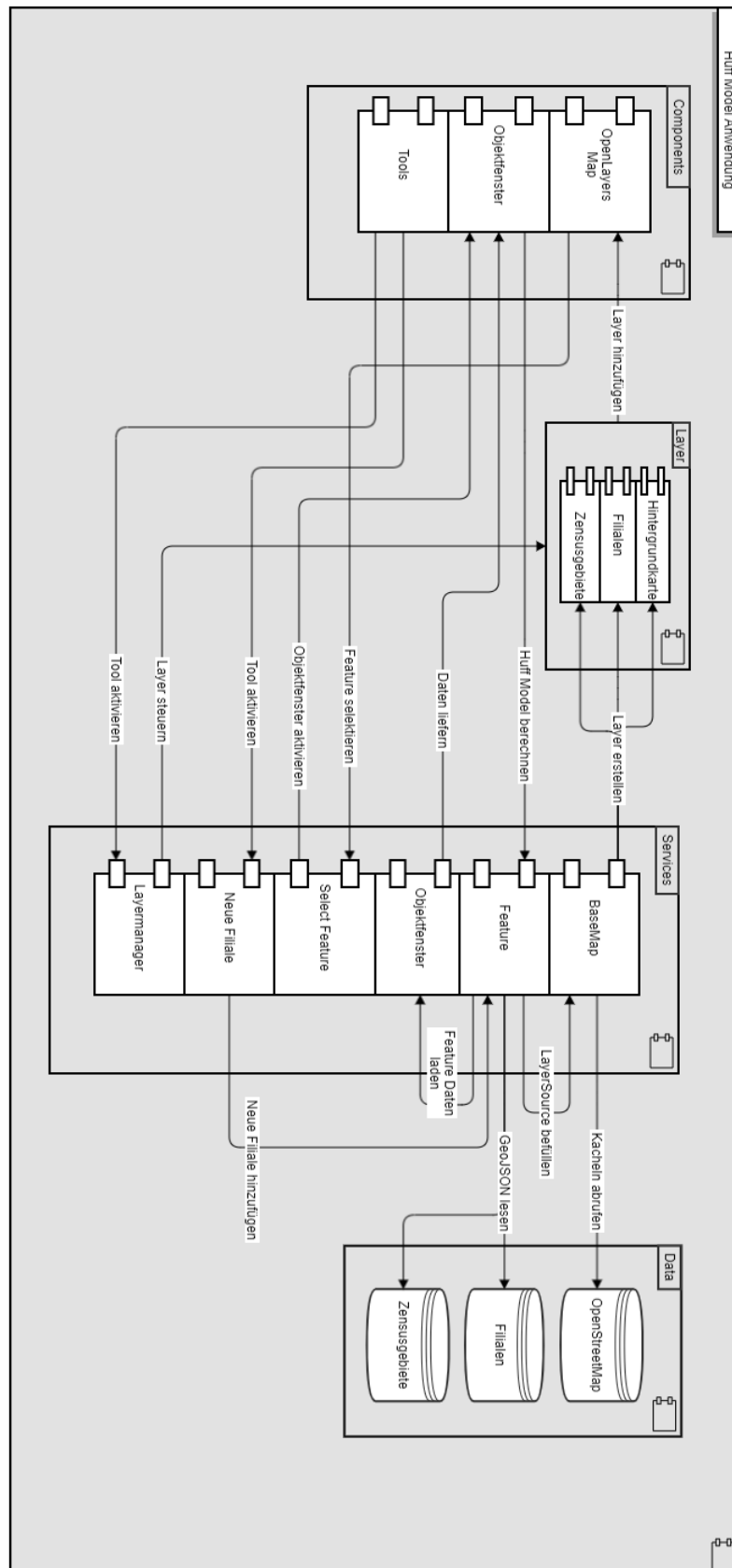


Abbildung A.2: Komponentendiagramm